

PONTOS DE IÇAMENTO

Aparafusáveis e Soldáveis





OLHAIS CONFIÁVEIS

Vantagens dos olhais RUD





















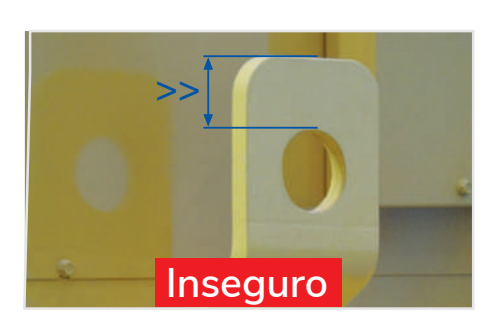


PROJETOS DEFICIENTES

Exemplos de olhais que apresentam risco de acidentes







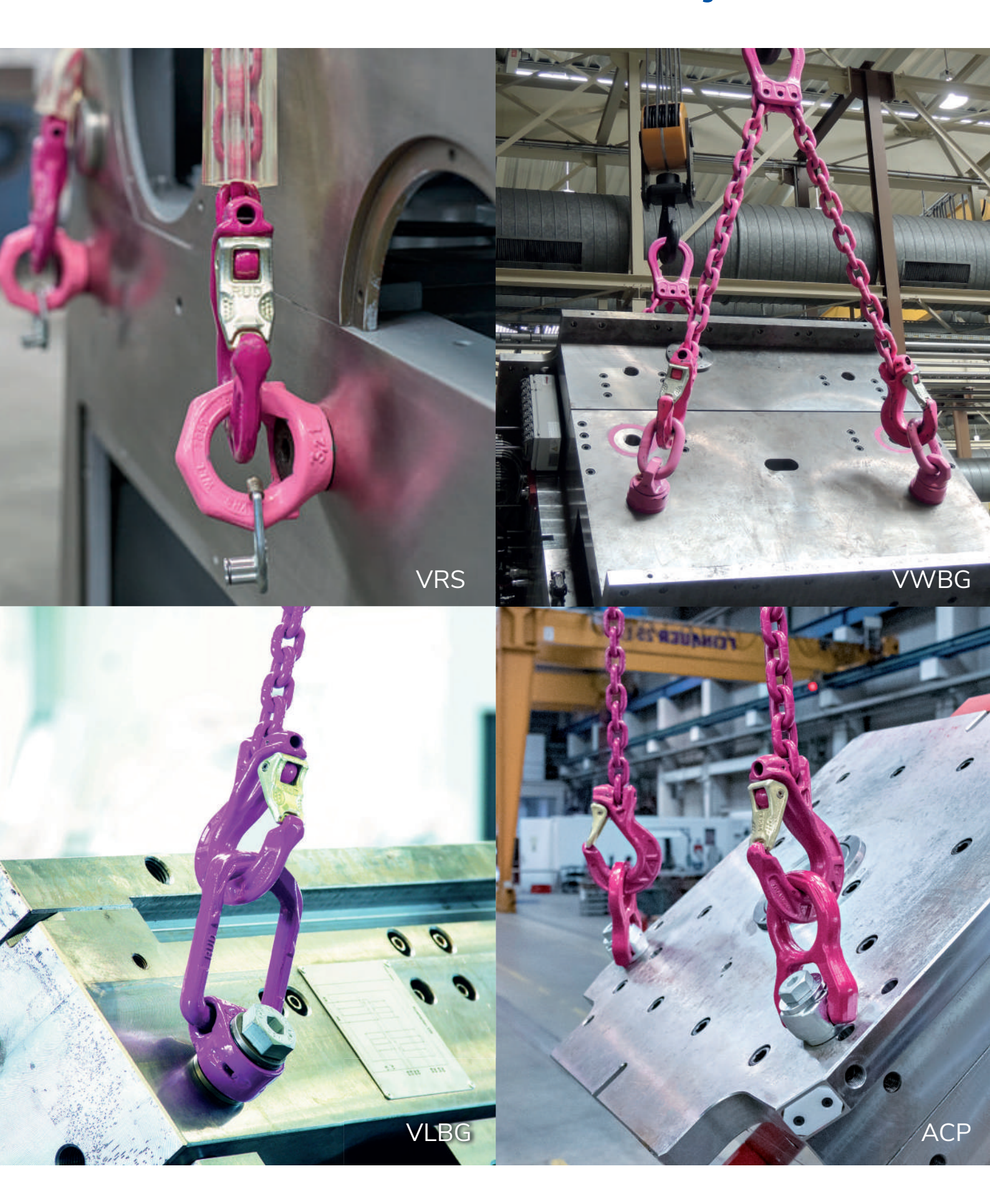






- Os olhais demonstrados acima não se ajustam à direção da carga podendo causar acidentes.
- As fotos acima (A, B e C) demonstram 3 estágios de operação de tombamento com 4 olhais e 2 pontes.
- A) No início do processo de tombamento, o gancho se posiciona na base do olhal.
- B) Processo de tombamento (a 45°): Durante o giro, os olhais não se ajustam em direção ao içamento.
- C) Processo de içamento (a 90°): com o olhal posicionado na pior condição, a força aplicada durante o içamento pode cisalhar o parafuso.

OS MELHORES PONTOS DE IÇAMENTO





Sujeito a alterações sem aviso prévio

CMT em toneladas



| | | | | | | | AC | P-T | urna | ado | | | | | | | VV | VBC | G-V | (Vai | rio) | | | , | vw | BG | (Va | rio) | |
|--------------------|------------------|--------------|----------|---------------|-------------|------------|--------------|----------|---------------------|--------------------|--------------------|-------------------|---------------------|---------------------|---------------------|---------------|------------------|------------------|------------------|------------------|--------------------|--------------------|--------------------|--------------------|--------------------|--------------------|--------------------|----------------------|---------------------|
| Parafus M8aMi | 150 | | | | | | | | | | | | | | | | | 6.1 | | | | | | | | ST. | | | |
| Método de Içamento | Direção da carga | ∞Z ACP 0,7 t | UZ ACP1t | UM ACP 1,35 t | 5 ACP 2,5 t | 07 ACP 4 t | %¥ ACP 6,3 t | ws ACP8t | ₩Z ACP 12,5 T (15t) | % ▼ ACP 18 t (16t) | & ≥ ACP 25 t (20t) | SZ ACP 26 t (24t) | 9x ACP 32,5 t (27t) | 9∑ ACP 35 t (32,5t) | 2x ACP 35 t (32,5t) | ∞Z VWBG-V0,3t | UMBG-V 0,45 t | 12 VWBG-V 0,6 t | 95 VWBG-V 1,3 t | 0M VWBG-V 2t | 72 VWBG-V 3,5 t | ₩Z VWBG-V5t | ₩Z VWBG 8t (10t) | 5 ▼ VWBG 12t (13t) | & ▼ VWBG 16t (16t) | 9x VWBG 16t(22t) | 9∑ VWBG 16t (25t) | 2x VWBG 31,5t (40t) | © ▼ VWBG 35t (48t) |
| G | 0° | 0,7 | 1 | 1,4 | 2,5 | 4 | 6,3 | 8 | 15 | 18 | 25 | 26 | 32,5 | 35 | 35 | 0,6 | 0,9 | 1,2 | 2,6 | 4 | 7 | 10 | 15 | 17 | 18 | 28 | 28 | 50 | 50 |
| 2 ramais | 0° | 1,4 | 2 | 2,7 | 5 | 8 | 12,6 | 16 | 30 | 36 | 50 | 52 | 65 | 70 | 70 | 1,2 | 1,8 | 2,4 | 5,2 | 8 | 14 | 20 | 30 | 34 | 36 | 56 | 56 | 100 | 100 |
| 1 ramal | 90° | 0,7 | 1 | 1,4 | 2,5 | 4 | 6,3 | 8 | 12,5 | 16 | 20 | 24 | 27 | 32,5 | 32,5 | 0,3 (0,4) | 0,5 (0,6) | 0,6 (0,8) | 1,3 (1,5) | 2 (2,5) | 3,5 (4) | 5 (6) | 8 (10) | 12 (13) | 13 (16) | 16 (22) | 16 (25) | 31,5 | 35 (48) |
| 2 ramais β | 90° | 1,4 | 2 | 2,7 | 5 | 8 | 12,6 | 16 | 25 | 32 | 40 | 48 | 54 | 65 | 65 | 0,6 (0,8) | 0,9 | 1,2 (1,5) | 2,6 (3) | 4 (5) | 7 (8) | 10 (12) | 16 (20) | 24 (26) | 26 (32) | 32 (44) | 32 (50) | 63 (80) | 70 (96) |
| 2 ramais | 0°- 45° | 1 | 1,4 | 1,9 | 3,5 | 5,7 | 8,9 | 11,3 | 21,2 | 25,5 | 35,4 | 36,8 | 46 | 49,5 | 49,5 | 0,9 (0,9) | 1,3 (1,3) | 1,7 (1,7) | 3,7 (3,7) | 5,7 (5,7) | 9,9 (9,9) | 14,1 (14,1) | 21,2 (21,2) | 24 (24) | 25,5 (25,5) | 39,6 (39,6) | 39,6 (39,6) | 70,7 (70,7) | 70,7 (70,7) |
| G | 45°- 60° | 0,7 | 1 | 1,4 | 2,5 | 4 | 6,3 | 8 | 15 | 18 | 25 | 26 | 32,5 | 35 | 35 | 0,6 (0,6) | 0,9 | 1,2 (1,2) | 2,6 (2,6) | 4 (4) | 7 (7) | 10 (10) | 15 (15) | 17 (17) | 18 (18) | 28 (28) | 28 (28) | 50 (50) | 50 (50) |
| 2 ramais | Assimétrico | 0,7 | 1 | 1,4 | 2,5 | 4 | 6,3 | 8 | 15 | 18 | 25 | 26 | 32,5 | 35 | 35 | 0,4 (0,4) | 0,6 (0,6) | 0,9 (0,9) | 1,8 (1,8) | 2,8 (2,8) | 5 (5) | 7,1 (7,1) | 10,6 (10,6) | 12 (12) | 12,7 (12,7) | 19,8 (19,8) | 19,8 (19,8) | 35,4 (35,4) | 35,4 (35,4) |
| 3 ou 4 ramais | 0°- 45° | 1,5 | 2,1 | 2,9 | 5,3 | 8,5 | 13,4 | 17 | 31,8 | 38,2 | 53 | 55,2 | 68,9 | 74,2 | 74,2 | 1,3 (1,3) | 1,9 (1,9) | 2,6 (2,6) | 5,5 (5,5) | 8,5 (8,5) | 14,9 (14,9) | 21,2 (21,2) | 31,8 (31,8) | 36,1 (36,1) | 38,2 (38,2) | 59,4 (59,4) | 59,4 (59,4) | 106,1 (106,1) | 106,1 (106,1) |
| G 3 ou 4 ramais | 45°- 60° | 1,1 | 1,5 | 2 | 3,8 | 6 | 9,5 | 12 | 22,5 | 27 | 37,5 | 39 | 48,8 | 52,5 | 52,5 | 0,9 (0,9) | 1,4 (1,4) | 1,8 (1,8) | 3,9 (3,9) | 6 (6) | 10,5 (10,5) | 15 (15) | 22,5 (22,5) | 25,5 (25,5) | 27 (27) | 42 (42) | 42 (42) | 75 (75) | 75 (75) |
| G | Assimétrico | 0,7 | 1 | 1,4 | 2,5 | 4 | 6,3 | 8 | 15 | 18 | 25 | 26 | 32,5 | 35 | 35 | 0,6 (0,6) | 1 (1) | 1,3 (1,3) | 2,8 (2,8) | 4,2 (4,2) | 7,4 (7,4) | 10,6 (10,6) | 15,9 (15,9) | 18 (18) | 19,1 (19,1) | 29,7 (29,7) | 29,7 (29,7) | 53 (53) | 53 (53) |
| 2 ramais | 0°- 45° | 1 | 1,4 | 1,9 | 3,5 | 5,7 | 8,9 | 11,3 | 17,7 | 22,6 | 28,3 | 33,9 | 38,2 | 46 | 46 | 0,4 (0,6) | 0,6 (0,8) | 0,8 (1,1) | 1,8 (2,1) | 2,8 (3,5) | 4,9 (5,6) | 7 (8,4) | 11,2 (14) | 16,8 (18,2) | 18,2 (22,4) | 22,4 (30,8) | 22,4 (35) | 44,1 (56) | 49 (67,2) |
| 6 G € | 45°- 60° | 0,7 | 1 | 1,4 | 2,5 | 4 | 6,3 | 8 | 12,5 | 16 | 20 | 24 | 27 | 32,5 | 32,5 | 0,3 (0,4) | 0,5 (0,6) | 0,6 (0,8) | 1,3 (1,5) | 2 (2,5) | 3,5 (4) | 5 (6) | 8 (10) | 12 (13) | 13 (16) | 16 (22) | 16 (25) | 31,5 | 35 (48) |
| 2 ramais | Assimétrico | 0,7 | 1 | 1,4 | | 4 | 6,3 | | 12,5 | | | 24 | | 32,5 | | | 0,5 (0,6) | 0,6 (0,8) | 1,3 (1,5) | 2 (2,5) | 3,5 (4) | 5 (6) | 8 (10) | 12 (13) | 13 (16) | 16 (22) | 16 (25) | 31,5 (40) | 35 (48) |
| 3 ou 4 ramais | 0°- 45° | 1,5 | 2,1 | 2,9 | 5,3 | 8,5 | 13,4 | 17 | 26,5 | 33,9 | 42,4 | 50,9 | 57,3 | 68,9 | 68,9 | 0,6 (0,8) | 0,9 | 1,3 (1,6) | 2,7 (3,2) | 4,2 (5,3) | 7,4 (8,4) | 10,5 (12,6) | 16,8 (21) | 25,2 (27,3) | 27,3 (33,6) | 33,6 (46,2) | 33,6 (52,5) | 66,2 (84) | 73,5 (100,8) |
| G 3 ou 4 samais | 45°- 60° | 1,1 | 1,5 | 2 | 3,8 | 6 | 9,5 | 12 | 18,8 | 24 | 30 | 36 | 40,5 | 48,8 | 48,8 | 0,5 (0,6) | 0,7 (0,9) | 0,9 | 2 (2,3) | 3 (3,8) | 5,3 (6) | 7,5 (9) | 12 (15) | 18 (19) | 19,5 (24) | 24 (33) | 24 (37,5) | 47,3 (60) | 52,5 (72) |
| 3 ou 4 ramais | Assimétrico | 0,7 | 1,4 | 1,4 | 2,5 | 4 | 6,3 | 8 | 15 | 18 | 25 | 26 | 32,5 | 35 | 35 | 0,3 | 0,5 (0,6) | 0,6 (0,8) | 1,3 (1,5) | 2 (2,5) | 3,5 (4) | 5 (6) | 8 (10) | 12 (13) | 13 (16) | 16 (22) | 16 (25) | 31,5 (40) | 35 (48) |



CMT em toneladas

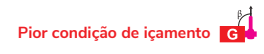


| | | | , | VLBG | PLUS | 6 | | | | | | | LB | 3G | | | | | |
|-----------------|------------------|------------------|------------------|------------------|------------------|--------------------|-----------|-------------|--------------|----------------------|-------------|-----------|--------------|------------|-------------|----------|-----------|------------------|------------------------------|
| | | | | | | | | | | | | | | | | | | M8 | afusos a M150 OV R |
| ∞ ▼ VLBG 0,63 t | 5 VLBG 0,9 t | UN VLBG 1,35 t | 91 VLBG 2 t | Ng VLBG 3,5 t | 75 VLBG 4,5 t | ₩Z VLBG 6,7 t | %▼ VLBG8t | 8 VLBG 15 t | 85 VLBG 20 t | ∞ ∑ LBG 0,25t | 57 LBG 0,6t | 71 LBG 1t | 9FW LBG 1,5t | % LBG 2,5t | 75 LBG 3,5t | wy LBG5t | %▼ LBG 5t | Direção da carga | leua I Método de Içamento |
| 0,63 | 0,9 (0,6) | 1,4 (1) | 2 (1,5) | 3,5 (2,5) | 4,5 (4) | 6,7 (5) | 8 | 15 | 20 | 0,3 | 0,6 | 1 | 1,5 | 2,5 | 3,5 | 5 | 5 | 0° | G |
| 1,3 | 1,8 (1,3) | 2,7 (2) | 4 (3) | 7 (5) | 9 (8) | 13,4 (10) | 16 | 30 | 40 | 0,5 | 1,2 | 2 | 3 | 5 | 7 | 10 | 10 | 0° | 2 ramais |
| 0,6 | 0,9 (0,6) | 1,4 (1) | 2 (1,5) | 3,5 (2,5) | 4,5 (4) | 6,7 (5) | 8 | 15 | 20 | 0,3 | 0,6 | 1 | 1,5 | 2,5 | 3,5 | 5 | 5 | 90° | 1 ramal |
| 1,3 | 1,8 (1,3) | 2,7 (2) | 4 (3) | 7 (5) | 9 (8) | 13,4 (10) | 16 | 30 | 40 | 0,5 | 1,2 | 2 | 3 | 5 | 7 | 10 | 10 | 90° | 2 ramais |
| 0,9 | 1,3 (0,9) | 1,9 (1,4) | 2,8 (2,1) | 5 (3,5) | 6,4 (5,7) | 9,5 (7,1) | 11,3 | 21,2 | 28,3 | 0,4 | 0,9 | 1,4 | 2,1 | 3,5 | 5 | 7,1 | 7,1 | 0°- 45° | 2 ramais |
| 0,6 | 0,9 (0,6) | 1,4 (1) | 2 (1,5) | 3,5 (2,5) | 4,5 (4) | 6,7 (5) | 8 | 15 | 20 | 0,3 | 0,6 | 1 | 1,5 | 2,5 | 3,5 | 5 | 5 | 45°- 60° | G 2 ramais |
| 0,5 | 0,6 (0,5) | 1 (0,7) | 1,4 (1,1) | 2,5 (1,8) | 3,2 (2,8) | 4,7 (3,5) | 5,7 | 10,6 | 14,1 | 0,2 | 0,4 | 0,7 | 1,1 | 1,8 | 2,5 | 3,5 | 3,5 | Assimétrico | G |
| 1,3 | 1,9 (1,3) | 2,9 (2,1) | 4,2 (3,2) | 7,4 (5,3) | 9,6 (8,5) | 14,2 (10,6) | 17 | 31,8 | 42,4 | 0,5 | 1,3 | 2,1 | 3,2 | 5,3 | 7,4 | 10,6 | 10,6 | 0°- 45° | 3 ou 4 ramais |
| 1 | 1,4 (1) | 2 (1,5) | 3 (2,3) | 5,3 (3,8) | 6,8 (6) | 10,1 (7,5) | 12 | 22,5 | 30 | 0,4 | 0,9 | 1,5 | 2,3 | 3,8 | 5,3 | 7,5 | 7,5 | 45°- 60° | G 3 ou 4 ramais |
| 0,7 | 1 (0,7) | 1,4 (1,1) | 2,1 (1,6) | 3,7 (2,7) | 4,8 (4,2) | 7,1 (5,3) | 8,5 | 15,9 | 21,2 | 0,3 | 0,6 | 1,1 | 1,6 | 2,7 | 3,7 | 5,3 | 5,3 | Assimétrico | G |
| 0,9 | 1,3 (0,9) | 1,9 (1,4) | 2,8 (2,1) | 4,9 (3,5) | 6,3 (5,6) | 9,4 (7) | 11,2 | 21 | 28 | 0,4 | 0,8 | 1,4 | 2,1 | 3,5 | 4,9 | 7 | 7 | 0°- 45° | 2 ramais |
| 0,6 | 0,9 (0,6) | 1,4 (1) | 2 (1,5) | 3,5 (2,5) | 4,5 (4) | 6,7 (5) | 8 | 15 | 20 | 0,3 | 0,6 | 1 | 1,5 | 2,5 | 3,5 | 5 | 5 | 45°- 60° | G G |
| 0,6 | 0,9 (0,6) | 1,4 (1) | 2 (1,5) | 3,5 (2,5) | 4,5 (4) | 6,7 (5) | 8 | 15 | 20 | 0,3 | 0,6 | 1 | 1,5 | 2,5 | 3,5 | 5 | 5 | Assimétrico | 2 ramais |
| 1,3 | 1,9 (1,3) | 2,8 (2,1) | 4,2 (3,2) | 7,4 (5,3) | 9,5 (8,4) | 14 (10,5) | 16,8 | 31,5 | 42 | 0,5 | 1,3 | 2,1 | 3,2 | 5,3 | 7,4 | 10,5 | 10,5 | 0°- 45° | 3 ou 4 ramais |
| 0,9 | 1,4 (1) | 2 (1,5) | 3 (2,3) | 5,3 (3,8) | 6,8 (6) | 10 (7,5) | 12 | 22,5 | 30 | 0,4 | 0,9 | 1,5 | 2,3 | 3,8 | 5,3 | 7,5 | 7,5 | 45°- 60° | G 3 au 4 ramais |
| 0,6 | 0,9 (0,6) | 1,4 (1) | 2 (1,5) | 3,5 (2,5) | 4,5 (4) | 6,7 (5) | 8 | 15 | 20 | 0,3 | 0,6 | 1 | 1,5 | 2,5 | 3,5 | 5 | 5 | Assimétrico | 3 ou 4 ramais |

CMT em toneladas



| | | | | | | | RS point | : | | | | | | | | RS | | | | |
|--------------------|------------------|------------|-------------|------------|------------|--------------|--------------|------------|------------|------------|------------|---------|-----------|-------------|-------------|--------------|-----------|-------------|-------------|-----------|
| Parafus M8a M1 | 50 | | | | | | 2,2 | | | | | | | | | | | | | |
| Método de Içamento | Direção da carga | ∞ ▼ VRS M8 | 0TW VRS M10 | 2T VRS M12 | 9T VRS M16 | 05 W VRS M20 | 75 W VRS M24 | ©™ VRS M30 | 85 VRS M36 | 25 VRS M42 | 85 VRS M48 | 9∑ RSM6 | ® M RS M8 | 01 M RS M10 | 15 W RS M12 | 14 RS M14 | 9T RS M16 | 05 W RS M20 | 75 W RS M24 | ®™ RS M30 |
| G | 0° | 1 | 1 | 2 | 4 | 6 | 8 | 12 | 16 | 24 | 32 | 0,4 | 0,8 | 1 | 1,6 | 3 | 4 | 6 | 8 | 12 |
| 2 ramais | 0° | 2 | 2 | 4 | 8 | 12 | 16 | 24 | 32 | 48 | 64 | 0,8 | 1,6 | 2 | 3,2 | 6 | 8 | 12 | 16 | 24 |
| 1 ramal | 90° | 0,3 | 0,4 | 0,8 | 1,5 | 2,3 | 3,2 | 4,5 | 7 | 9 | 12 | | | | | | | | | |
| 2 ramais | 90° | 0,6 | 0,8 | 1,5 | 3 | 4,6 | 6,4 | 9 | 14 | 18 | 24 | | | | | | | | | |
| 2 ramais | 0°- 45° | 1,4 | 1,4 | 2,8 | 5,7 | 8,5 | 11,3 | 17 | 22,6 | 33,9 | 45,3 | | | | | | | | | |
| G | 45°- 60° | 1 | 1 | 2 | 4 | 6 | 8 | 12 | 16 | 24 | 32 | | | | | | | | | |
| 2 ramais | Assimétrico | 0,7 | 0,7 | 1,4 | 2,8 | 4,2 | 5,7 | 8,5 | 11,3 | 17 | 22,6 | | | | | dam Star | ins (| o us | 5 0 | |
| 3 ou 4 ramais | 0°- 45° | 2,1 | 2,1 | 4,2 | 8,5 | 12,7 | 17 | 25,5 | 33,9 | 50,9 | 67,9 | | Re | COM | enions s | Star | poi | nt (|)U | |
| G | 45°- 60° | 1,5 | 1,5 | 3 | 6 | 9 | 12 | 18 | 24 | 36 | 48 | | | | - 110 | \sim | | | | |
| 3 ou 4 ramais | Assimétrico | 1,1 | 1,1 | 2,1 | 4,2 | 6,4 | 8,5 | 12,7 | 17 | 25,5 | 33,9 | | 0 | | | tório m à | | | | |
| 2 ramais | 0°- 45° | 0,4 | 0,6 | 1 | 2,1 | 3,2 | 4,5 | 6,3 | 9,8 | 12,6 | 16,8 | | | aju | sta h | a ca | arga | 1 | | |
| G G | 45°- 60° | 0,3 | 0,4 | 0,8 | 1,5 | 2,3 | 3,2 | 4,5 | 7 | 9 | 12 | | | | U | | - | | | |
| 2 ramais | Assimétrico | 0,3 | 0,4 | 0,8 | 1,5 | 2,3 | 3,2 | 4,5 | 7 | 9 | 12 | | | | | | | | | |
| 3 ou 4 ramais | 0°- 45° | 0,6 | 0,8 | 1,6 | 3,2 | 4,8 | 6,7 | 9,5 | 14,7 | 18,9 | 25,2 | | | | | | | | | |
| G 3 au 4 ramais | 45°- 60° | 0,5 | 0,6 | 1,1 | 2,2 | 3,4 | 4,8 | 6,8 | 10,5 | 13,5 | 18 | | | | | | | | | |
| 3 ou 4 ramais | Assimétrico | 0,3 | 0,4 | 0,8 | 1,5 | 2,3 | 3,2 | 4,5 | 7 | 9 | 12 | | | | | | | | | |



CMT em toneladas



| | | POWI | ERPOINT | | | | | VRBG | | | | |
|---------------|---------------|----------------|----------|-----------------|-------------|--------------|-------------|--------------|-------------|-------------|------------------|------------------------------|
| | | | | P-VIP vario) | | | | 0 | | | M8 | afusos a M150 DV /Reg. |
| M PP-S 0,63 t | 9W PP-S 1,5 t | 0VW PP-S 2,5 t | PP-S 4 t | ωΣ PP-S 6,7 t | 98 PP-S 8 t | 0 ▼ VRBG 10t | ωz VRBG 16t | ωz VRBG31,5t | %▼ VRBG 50t | 8 VRBG 100t | Direção da carga | • Método de Içamento |
| 0,6 | 1,5 | 2,5 | 4 | 6,7 | 10 | 10 | 16 | 31,5 | 50 | 100 | 0° | G |
| 1,3 | 3 | 5 | 8 | 13,4 | 20 | 20 | 32 | 63 | 100 | 200 | 0° | 2 ramais |
| 0,6 | 1,5 | 2,5 | 4 | 5 | 8 | 10 | 16 | 31,5 | 50 | 100 | 90° | 1 ramal |
| 1,3 | 3 | 5 | 8 | 10 | 16 | 20 | 32 | 63 | 100 | 200 | 90° | 2 ramais β |
| 0,9 | 2,1 | 3,5 | 5,7 | 9,5 | 14,1 | 14,1 | 22,6 | 44,5 | 70,7 | 141,4 | 0°- 45° | 2 ramais |
| 0,6 | 1,5 | 2,5 | 4 | 6,7 | 10 | 10 | 16 | 31,5 | 50 | 100 | 45°- 60° | G |
| 0,5 | 0,8 | 1,8 | 2,8 | 4,7 | 7,1 | 10 | 16 | 31,5 | 50 | 100 | Assimétrico | 2 ramais |
| 1,3 | 3,2 | 5,3 | 8,5 | 14,2 | 21,2 | 21,2 | 33,9 | 66,8 | 106,1 | 212,1 | 0°- 45° | 3 ou 4 ramais |
| 1 | 2,3 | 3,8 | 6 | 10,1 | 15 | 15 | 24 | 47,3 | 75 | 150 | 45°- 60° | G |
| 0,7 | 1,6 | 2,7 | 4,2 | 7,1 | 10,6 | 10 | 16 | 31,5 | 50 | 100 | Assimétrico | 3 ou 4 ramais |
| 0,9 | 2,1 | 3,5 | 5,6 | 7 | 11,2 | 14,1 | 22,6 | 44,5 | 70,7 | 141,4 | 0°- 45° | 2 ramais |
| 0,6 | 1,5 | 2,5 | 4 | 5 | 8 | 10 | 16 | 31,5 | 50 | 100 | 45°- 60° | G G |
| 0,6 | 1,5 | 2,5 | 4 | 5 | 8 | 10 | 16 | 31,5 | 50 | 100 | Assimétrico | 2 ramais |
| 1,3 | 3,1 | 5,2 | 8,4 | 10,5 | 16,8 | 21,2 | 33,9 | 66,8 | 106,1 | 212,1 | 0°- 45° | 3 ou 4 ramais |
| 0,9 | 2,2 | 3,7 | 6 | 7,5 | 12 | 15 | 24 | 47,3 | 75 | 150 | 45°- 60° | G 3 ou 4 ramais |
| 0,6 | 1,5 | 2,5 | 4 | 5 | 8 | 10 | 16 | 31,5 | 50 | 100 | Assimétrico | G G |

PP-S/PP-B/PP-VIP

BRUD°

Olhal Giratório Ajustável







- Giratório 360° e ajustável 230°.
- Indicado para rotações e tombamentos.
- Base rolamentada apasafusável que pode ser montada com gancho, elo ou corrente.
- Pode ser utilizado em furos passantes.
- Projeto patenteado.
- Fabricado com aço-liga NiCrMo, temperado e revenido.
- Disponíveis com parafuso de diferentes comprimentos (vario).
- Acabamento superficial com a pintura epóxi pink.
- Torque manual com chave apropriada, é suficiente para instalação não permanente.
- PP-S: a forma do gancho previne contra práticas inadequadas de utilização e resiste aos esforços de dobra.
- Trava de segurança forjada, aumentando a resistência contra esforços laterais.

Por favor, observe as instruções de torque quando o ponto de içamento é instalado permanentemente. Especial atenção deve ser dada para operações que envolvem tombamento e giro.





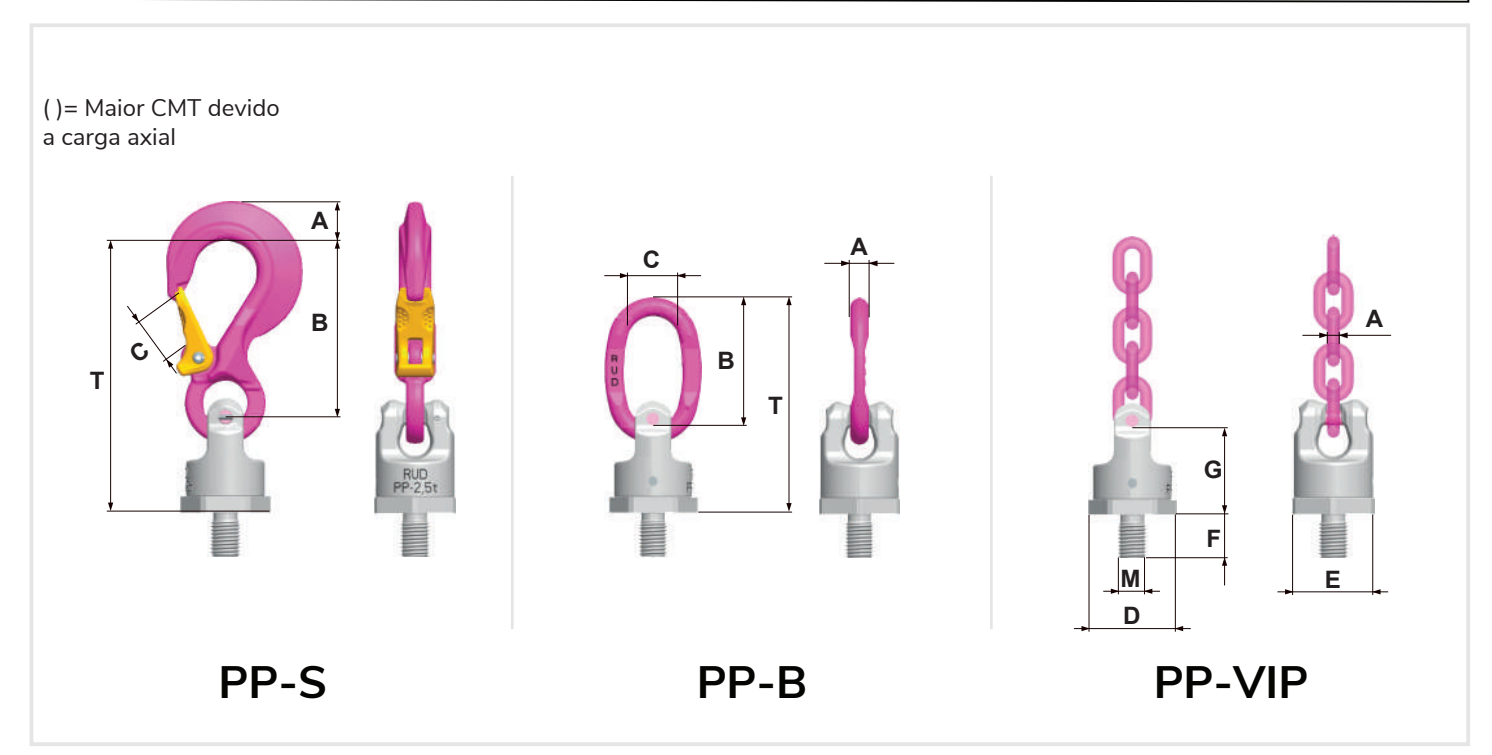


PP-S/PP-B/PP-VIP



Olhal Giratório Ajustável

| Descrição | Carga d | e Trab. (| t)Peso | | | | Dim | ensões (| mm) | | | | Rosca | Torque |
|-------------|---------|-----------|----------|------|--------|----------|--------|----------|-----|----|----------|-----|--------------|--------|
| - | Ğ | G | (kg/pc.) | Т | Α | В | С | D | Е | F | F(vario) | G | UNC | (Nm) |
| PP-S – con | exão co | m gand | ho VIP | VCOH | (conex | ão unive | ersal) | | | | | | | |
| PP-S M12 | 0,63 | 0,63 | 0,4 | 116 | 13 | 75 | 18 | 40 | 36 | 18 | 12-140 | 41 | 1/2" -13UNC | 10 |
| PP-S M16 | 1,5 | 1,5 | 0,9 | 147 | 20 | 97 | 25 | 46 | 41 | 24 | 16-180 | 50 | 5/8" -11UNC | 30 |
| PP-S M20 | 2,5 | 2,5 | 1,7 | 187 | 28 | 126 | 30 | 61 | 55 | 30 | 20-224 | 61 | 3/4" -10 UNC | 70 |
| PP-S M24 | 4,0 | 4,0 | 3,5 | 227 | 36 | 150 | 35 | 78 | 70 | 36 | 24-255 | 77 | 1" -8UNC | 150 |
| PP-S M30 | 5 (6,7) | 5 (6,7) | 7,5 | 267 | 37 | 174 | 40 | 95 | 85 | 45 | 30-330 | 93 | 1 1/4" -7UNC | 225 |
| PP-S M36 | 8 (10) | 8 (10) | 9,2 | 310 | 49 | 208 | 48 | 100 | 90 | 54 | 36-300 | 102 | 1 1/2" -6UNC | 410 |
| PP-B – con | exão co | om elo \ | /IP | | | | | | | | | | | |
| PP-B M12 | 0,63 | 0,63 | 0,35 | 106 | 9 | 65 | 35 | 40 | 36 | 18 | 12-140 | 41 | 1/2" -13UNC | 10 |
| PP-B M16 | 1,5 | 1,5 | 0,6 | 115 | 11 | 65 | 35 | 46 | 41 | 24 | 16-180 | 50 | 5/8" -11UNC | 30 |
| PP-B M20 | 2,5 | 2,5 | 1,1 | 135 | 13 | 74 | 40 | 61 | 55 | 30 | 20-224 | 61 | 3/4" -10 UNC | 70 |
| PP-B M24 | 4,0 | 4,0 | 2,4 | 172 | 16 | 95 | 45 | 78 | 70 | 36 | 24-255 | 77 | 1" -8UNC | 150 |
| PP-B M30 | 5 (6,7) | 5 (6,7) | 5,2 | 223 | 19 | 130 | 60 | 95 | 85 | 45 | 30-330 | 93 | 1 1/4" -7UNC | 225 |
| PP-B M36 | 8 (10) | 8 (10) | 6,3 | 242 | 24 | 140 | 65 | 100 | 90 | 54 | 36-300 | 102 | 1 1/2" -6UNC | 410 |
| PP-VIP – co | onexão | com co | rrente | | | | | | | | | | | |
| PP-VIP M12 | 0,63 | 0,63 | 0,25 | - | 4 | - | - | 40 | 36 | 18 | 12-140 | 41 | 1/2" -13UNC | 10 |
| PP-VIP M16 | 1,5 | 1,5 | 0,45 | - | 6 | - | - | 46 | 41 | 24 | 16-180 | 50 | 5/8" -11UNC | 30 |
| PP-VIP M20 | 2,5 | 2,5 | 0,95 | - | 8 | - | - | 61 | 55 | 30 | 20-224 | 61 | 3/4" -10 UNC | 70 |
| PP-VIP M24 | 4,0 | 4,0 | 2,2 | - | 10 | - | - | 78 | 70 | 36 | 24-255 | 77 | 1" -8UNC | 150 |
| PP-VIP M30 | 5 (6,7) | 5 (6,7) | 3,5 | - | 13 | - | - | 95 | 85 | 45 | 30-330 | 93 | 1 1/4" -7UNC | 225 |
| PP-VIP M36 | 8 (10) | 8 (10) | 5,2 | - | 16 | - | - | 100 | 90 | 54 | 36-300 | 102 | 1 1/2" -6UNC | 410 |



Obs. A carga de trabalho varia de acordo com a posição de acoplamento do olhal na carga. Veja a tabela de carga completa na página 07.

VWBG-V // VWBG

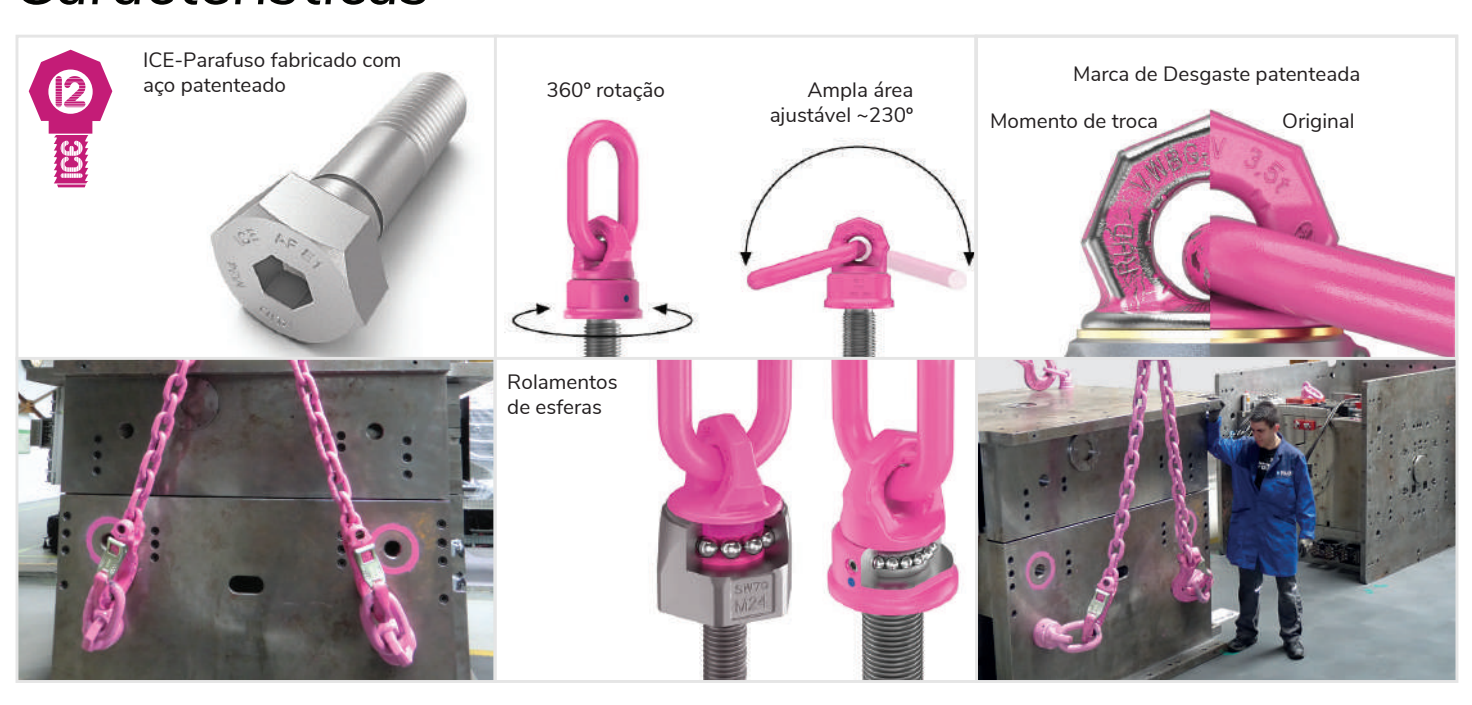


Olhal Aparafusável Giratório





- Ajusta-se em direção ao içamento. Observe na página 11 alteração da carga de trabalho de acordo com a posição da alça.
- Anel de carga de acordo com a norma EN 1677-4.
- Capaz de girar mesmo sob carga máxima. Não recomendado giro constante sob carga.
- Fácil instalação. Disponível com maiores comprimentos de rosca (Vario).
- Pode ser utilizado em furos passantes.
- VWBG-V é montado com parafuso ICE Bolt equivalente à classe 16.9, que aumenta a Carga Máxima de Trabalho dos olhais e possui proteção especial contra corrosão (Corrud-DT).
- Maior espaçamento entre a base e o parafuso para evitar danos
- Rolamento esférico para rotações suaves e precisas em operações de tombamento.



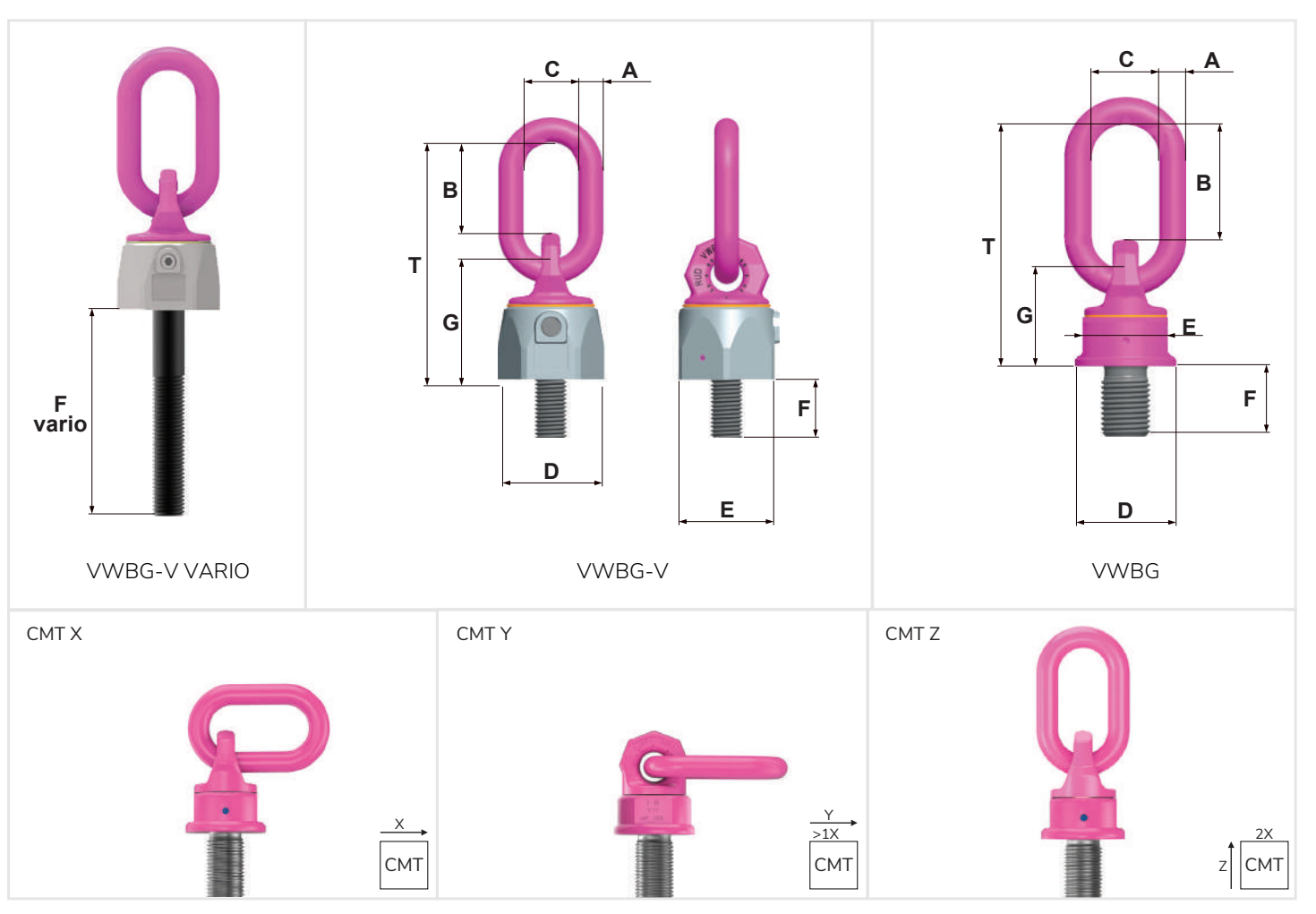
VWBG-V//VWBG



Olhal Aparafusável Giratório

| Descrição | Carga | de Tra | b. (t) | Peso | | | | D | imens | sões | (mm) |) | | | Rosca | Torque |
|-------------|--------|--------|--------|-----------|-----|----|-----|-----|-------|------|------|--------------------|-----------|-----|---------------|--------|
| | Χ | Υ | Z | (kg/pc.) | T | Α | В | С | D | Е | F | F _(UNC) | F(vario)* | G | UNC | (Nm) |
| VWBG-V – OI | hal Ap | oarafu | sável | Giratório | | | | | | | | | | | | |
| VWBG-V M8 | 0,3 | 0,4 | 0,6 | 0,18 | 76 | 8 | 31 | 29 | 30 | 28 | 13 | 13 | 8-102 | 36 | 5/16" -18 UNC | 10 |
| VWBG-V M10 | 0,45 | 0,6 | 0,9 | 0,29 | 78 | 8 | 31 | 29 | 33,5 | 30 | 17 | 17 | 10-122 | 38 | 3/8" -16 UNC | 10 |
| VWBG-V M12 | 0,6 | 0,75 | 1,2 | 0,41 | 107 | 10 | 49 | 35 | 42 | 36 | 21 | 21 | 12-140 | 47 | 1/2" -13 UNC | 10 |
| VWBG-V M16 | 1,3 | 1,5 | 2,6 | 0,59 | 114 | 13 | 46 | 38 | 48 | 41 | 25 | 29 | 16-180 | 56 | 5/8" -11 UNC | 30 |
| VWBG-V M20 | 2,0 | 2,5 | 4 | 1,42 | 137 | 13 | 54 | 35 | 62 | 55 | 33 | 28 | 20-223 | 67 | 3/4" -10UNC | 70 |
| VWBG-V M24 | 3,5 | 4 | 7 | 2,63 | 173 | 18 | 66 | 40 | 81 | 70 | 40 | 40 | 24-255 | 88 | 1" -8 UNC | 150 |
| VWBG-V M30 | 5 | 6 | 10 | 5,09 | 221 | 22 | 90 | 50 | 99 | 85 | 50 | 47 | 30-330 | 106 | 1 1/4" -7 UNC | 225 |
| VWBG – Olha | l Apar | afusá | vel Gi | ratório | | | | | | | | | | | | |
| VWBG M36 | 8 | 10 | 15 | 4,7 | 208 | 22 | 86 | 50 | 90 | 80 | 54 | 57 | 36-300 | 94 | 1 1/2" -6 UNC | 410 |
| VWBG M42 | 12 | 13 | 17 | 6,1 | 234 | 26 | 111 | 65 | 98 | 85 | 63 | 66 | 42-300 | 95 | 1 3/4" -5 UNC | 550 |
| VWBG M48 | 13 | 16 | 18 | 6,37 | 234 | 26 | 111 | 65 | 98 | 85 | 68 | 76 | 48-300 | 95 | 2" -4,5 UNC | 550 |
| VWBG M56 | 16 | 22 | 28 | 10,68 | 271 | 32 | 119 | 70 | 120 | 95 | 84 | 95 | 56-300 | 120 | 2 1/2" -4 UNC | 800 |
| VWBG M64 | 16 | 25 | 28 | 11,4 | 271 | 32 | 119 | 70 | 120 | 95 | 94 | 94 | 64-300 | 120 | 2 3/4" -4UNC | 800 |
| VWBG M72 | 31,5 | 40 | 50 | 29,96 | 338 | 46 | 130 | 90 | 170 | 145 | 108 | 114 | 72-300 | 159 | 3" -4 UNC | 1200 |
| VWBG M80 | 35 | 48 | 50 | 31,19 | 338 | 46 | 130 | 90 | 170 | 145 | 120 | 133 | 80-300 | 159 | 3 1/2" -4 UNC | 1500 |
| VWBG M90 | 40 | 50 | 50 | 34,5 | 378 | 46 | 168 | 110 | 170 | 145 | 135 | 170 | 90-300 | 159 | 4.1/2" 4UNC | 2000 |
| VWBG M100 | 40 | 50 | 50 | 36,5 | 378 | 46 | 168 | 110 | 170 | 145 | 150 | 190 | 90-300 | 159 | 5" -4 UNC | 2000 |

^{*}medidas F(vario - UNC) sob consulta.



Obs. A carga de trabalho varia de acordo com a posição de acoplamento do olhal na carga. Veja a tabela completa na página 04.

VLBG-PLUS

Olhal Aparafusável Giratório





- A mola mantém a alça na posição adequada, evitando batidas na carga. Assim, reduzem-se os ruídos e se preserva a pintura.
- O VLBG deve ser fixado perpendicularmente à superfície da carga. A superfície deve ser plana para contato com a base do olhal
- O design construtivo do VLBG PLUS mantém a alça atrás do parafuso. Esta característica torna o olhal mais robusto e seguro, pois a alça é forjada.

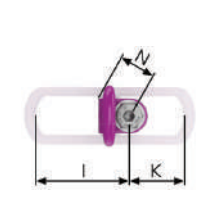


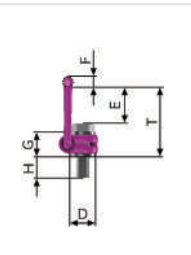




| Descrição | Carga _, de ' | Trab. (t) | Peso | | | | Di | mens | ões (r | mm) | | | | | | | Torque |
|-------------------|-------------------------|-----------|----------|--------|----|-----|-----|------|--------|------|----|----|--------|-----|-----|-----|--------|
| | Q G | G | (kg/pc.) | Т | Α | В | С | D | Е | F | G | Н | Hvario | I | K | Ν | (Nm) |
| VLBG-PLUS - OII | nal apara | fusável | - rosca | métrio | са | | | | | | | | | | | | |
| VLBG-PLUS M8 | 0,63 | 0,63 | 0,3 | 75 | 30 | 54 | 34 | 24 | 40 | 10 | 29 | 11 | 8-76 | 75 | 45 | 32 | 30 |
| VLBG-PLUS M10 | 0,9 | 0,9 | 0,32 | 75 | 30 | 54 | 34 | 24 | 39 | 10 | 29 | 15 | 10-96 | 75 | 45 | 32 | 60 |
| VLBG-PLUS M12 | 1,35 | 1,35 | 0,33 | 75 | 32 | 54 | 34 | 26 | 38 | 10 | 29 | 18 | 12-116 | 75 | 45 | 32 | 150 |
| VLBG-PLUS M16 | 2 | 2 | 0,55 | 85 | 33 | 56 | 36 | 30 | 39 | 13,5 | 36 | 22 | 16-149 | 86 | 47 | 38 | 150 |
| VLBG-PLUS M20 | 3,5 | 3,5 | 1,3 | 110 | 50 | 82 | 54 | 45 | 55 | 16,5 | 43 | 32 | 20-187 | 113 | 64 | 48 | 400 |
| VLBG-PLUS M24 | 4,5 | 4,5 | 1,5 | 125 | 50 | 82 | 54 | 45 | 67 | 18 | 43 | 37 | 24-220 | 130 | 78 | 48 | 760 |
| VLBG-PLUS M30 | 6,7 | 6,7 | 3,3 | 147 | 60 | 103 | 65 | 60 | 67 | 22,5 | 61 | 49 | 30-279 | 151 | 80 | 67 | 1000 |
| VLBG-PLUS M36 | 8 | 8 | 6,2 | 197 | 77 | 122 | 82 | 70 | 97 | 26,5 | 77 | 63 | 36-223 | 205 | 110 | 87 | 800 |
| VLBG-PLUS M42 | 15 | 15 | 10,9 | 222 | 95 | 156 | 100 | 85 | 109 | 36 | 87 | 63 | 42-263 | 230 | 130 | 100 | 1500 |
| VLBG-PLUS M48 | 20 | 20 | 11,6 | 222 | 95 | 156 | 100 | 90 | 105 | 36 | 87 | 73 | 48-303 | 230 | 130 | 100 | 2000 |
| VLBG-Z - Olhal a | parafusá | vel - ro | sca UNC | | | | | | | | | | | | | | |
| VLBG-Z 1/2"-13UN | NC 1 | 1 | 0,36 | 75 | 32 | 54 | 34 | 26 | 38 | 10 | 29 | 22 | 13-123 | 75 | 45 | 32 | 100 |
| VLBG-Z 5/8" -11UI | NC 1,5 | 1,5 | 0,5 | 85 | 33 | 56 | 36 | 30 | 39 | 13,5 | 36 | 24 | 16-148 | 86 | 47 | 38 | 150 |
| VLBG-Z 3/4" -10UI | NC 2,5 | 2,5 | 1,3 | 110 | 50 | 82 | 54 | 45 | 55 | 16,5 | 43 | 28 | 19-185 | 113 | 64 | 48 | 250 |
| VLBG-Z 7/8" -9UN | C 2,5 | 2,5 | 1,25 | 110 | 50 | 82 | 54 | 45 | 55 | 16,5 | 43 | 27 | 22-211 | 113 | 64 | 48 | 250 |
| VLBG-Z 1" -8UNC | 4 | 4 | 1,50 | 125 | 50 | 82 | 54 | 45 | 67 | 18 | 43 | 41 | 25-211 | 130 | 78 | 48 | 400 |
| VLBG-Z 1-1/4" -7L | JNC 5 | 5 | 3,33 | 147 | 60 | 103 | 65 | 60 | 64 | 22,5 | 61 | 41 | 32-278 | 151 | 80 | 67 | 500 |
| VLBG-Z 1 1/2 - 6U | NC 8 | 8 | 6,14 | 197 | 77 | 122 | 82 | 70 | 97 | 26,5 | 77 | 62 | 38-270 | 205 | 110 | 87 | 800 |











ACP TURNADO



Olhal Aparafusável Giratório



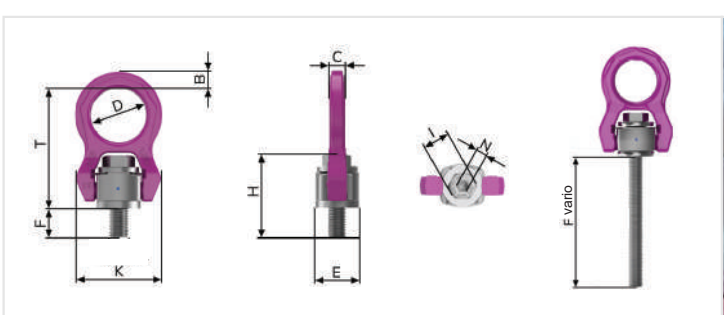
- Mecanismo de mola previne que a alça pare em posição crítica ao içamento.
- Articulação giratória no eixo da alça.
- Marcações no forjado indicam desgaste e facilitam inspeção.
- Amplo range de tamanhos M8 ao M100 (para cargas de até 32.5t).
- Atende e supera os requisitos da norma americana ASME B30.26.







| Descrição | Carga de | e Trab. (| (t) Peso | | | | | Din | nensõe | s (mm) | | | | | Rosca | Torque |
|-----------|----------|-----------|----------|-----|----|-------|----|-----|--------|-----------|------|------|-----|----|--------|--------|
| | () G | G | (kg/pc.) | Т | В | С | D | Е | F | F (vario) | Н | I | K | Ν | UNC | (Nm) |
| ACP M8 | 0,7 | 0,7 | 0,36 | 83 | 11 | 10,5 | 38 | 30 | 12 | 8-77 | 45,3 | 13 | 58 | 5 | - | 30 |
| ACP M10 | 1 | 1 | 0,37 | 83 | 11 | 10,5 | 38 | 30 | 16 | 10-97 | 50,4 | 17 | 58 | 6 | - | 60 |
| ACP M12 | 1,4 | 1,4 | 0,38 | 83 | 11 | 10,5 | 38 | 30 | 19 | 12-117 | 54,5 | 19 | 58 | 8 | 1/2" | 80 |
| ACP M16 | 2,5 | 2,5 | 0,88 | 107 | 14 | 14 | 50 | 40 | 22 | 16-149 | 68 | 24 | 76 | 10 | 5/8" | 150 |
| ACP M20 | 4 | 4 | 1,41 | 118 | 17 | 17,25 | 50 | 45 | 26,5 | 20-187 | 82,5 | 30 " | 89 | 12 | 3/4" | 300 |
| ACP M24 | 6,3 | 6,3 | 3,27 | 154 | 23 | 23 | 66 | 60 | 34 | 24-210 | 104 | 36 | 121 | 14 | 1" | 500 |
| ACP M30 | 8 | 8 | 5,69 | 183 | 29 | 27 | 75 | 75 | 41,5 | 30-271 | 129 | 46 | 148 | 17 | 1 1/4" | 800 |





ACP TURNADO MAX



Olhal Aparafusável Giratório

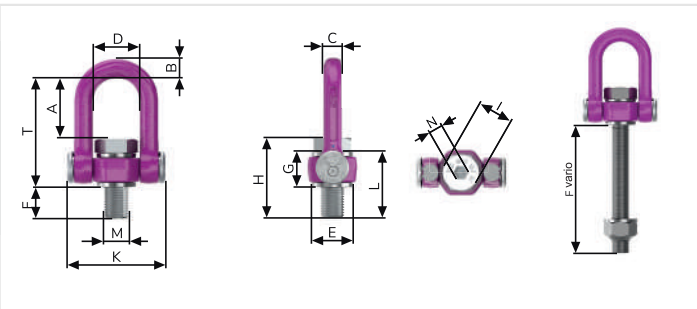


- Mecanismo de mola previne que a alça pare em posição crítica ao içamento.
- Articulação giratória no eixo da alça.
- Marcações no forjado indicam desgaste e facilitam inspeção.
- Amplo range de tamanhos M8 ao M100 (para cargas de até 32.5t).
- Atende e supera os requisitos da norma americana ASME B30.26.



| Descrição | Carga de | e Trab. (t) | Peso | | | | Dime | ensões (| mm) | | | | | | Torque |
|--------------|----------|-------------|----------|-----|----|----|------|----------|------|-----------|-----|----|-----|----|--------|
| | Û G | G | (kg/pc.) | Т | В | С | D | Е | F | F (vario) | Н | I | K | Ν | (Nm) |
| ACP MAX M36 | 15 | 12,5 | 7,1 | 189 | 32 | 32 | 82 | 70 | 45 | 36-240 | 128 | 55 | 168 | 22 | 800 |
| ACP MAX M42 | 18 | 16 | 4,5 | 189 | 32 | 32 | 82 | 70 | 53 | 42-290 | 136 | 65 | 168 | 24 | 1500 |
| ACP MAX M48 | 25 | 20 | 16 | 235 | 45 | 45 | 103 | 90 | 60,5 | 48-311 | 169 | 75 | 75 | 27 | 2000 |
| ACP MAX M52 | 26 | 24 | 16,5 | 232 | 45 | 45 | 103 | 95 | 65 | 52-300 | 173 | 75 | 75 | 24 | 2000 |
| ACP MAX M56 | 32,5 | 27 | 16,7 | 232 | 45 | 45 | 103 | 95 | 70 | 56-300 | 178 | 75 | 75 | 24 | 2000 |
| ACP MAX M64 | 35 | 32,5 | 17,2 | 232 | 45 | 45 | 103 | 95 | 80 | 64-300 | 188 | 75 | 75 | 24 | 2000 |
| ACP S.MAX M7 | 72 35 | 32,5 | 18,2 | 232 | 45 | 45 | 103 | 95 | 90 | 72-300 | 198 | 75 | 75 | 24 | 2000 |







VRS // VRM STARPOINT BRUD®



Olhal Aparafusável Giratório





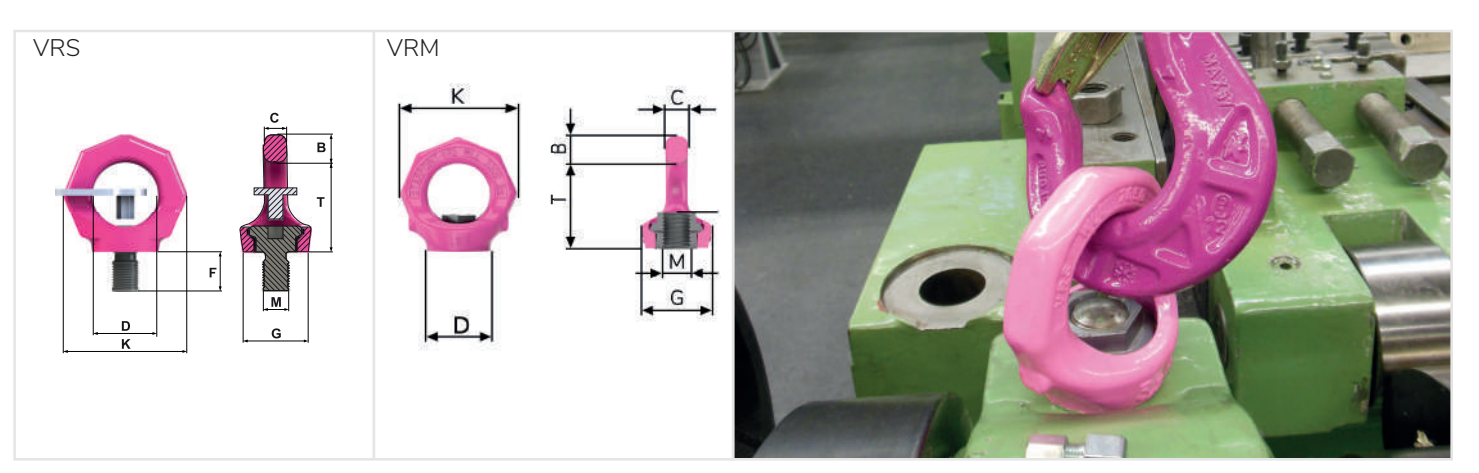
- Olhal VRS STARPOINT rotaciona 360°. Indicado para uso lateral e com lingas de múltiplos ramais, pois é capaz de ajustar-se em direção ao içamento mesmo depois de parafusado.
- Gravação em alto relevo da carga de trabalho válida para a pior condição de içamento.
- Chave/trava starkey. Para aparafusar o VRS, basta acoplar a chave no parafuso sextavado. Depois de aparafusado, utilizar o olhal com a chave desacoplada, assim o VRS se ajustará em direção à carga.
- Melhor relação custo-benefício.

Características



| Descrição | Carga de ⁻ | Trab. (t) | Peso | | | | Dime | nsões | (mm) | | | | Rosca | Torque |
|----------------|-----------------------|-----------|----------|-----|----|----|------|-------|------|----|--------|----------|--------|--------|
| | Ğ | G | (kg/pc.) | T | В | С | D | G | K | F | F(unc) | F(vario) | UNC | (Nm) |
| VRS M8/VRM M8 | 1,0 | 0,3 | 0,1 | 35 | 11 | 9 | 25 | 30 | 47 | 12 | 12 | - | 5/16" | 10 |
| VRS M10VRM M10 | 0,1 | 0,4 | 0,1 | 35 | 11 | 9 | 25 | 30 | 47 | 15 | 15 | 16-70 | 3/8" | 10 |
| VRS M12/VRM M1 | 2 2,0 | 0,75 | 0,2 | 42 | 13 | 10 | 30 | 34 | 56 | 18 | 18 | 19-150 | 1/2" | 25 |
| VRS M16/VRM M1 | 6 4,0 | 1,5 | 0,33 | 49 | 15 | 13 | 35 | 40 | 65 | 24 | 24 | 16-120 | 5/8" | 60 |
| VRS M20/VRM M2 | 0 6,0 | 2,3 | 0,5 | 59 | 17 | 16 | 40 | 50 | 76 | 30 | 30 | 31-160 | 3/4" | 115 |
| VRS M24/VRM M2 | 4 8,0 | 3,2 | 0,86 | 70 | 20 | 19 | 49 | 60 | 92 | 36 | 36 | 37-140 | 1" | 190 |
| VRS M30/VRM M3 | 0 12,0 | 4,5 | 1,5 | 87 | 26 | 24 | 60 | 65 | 114 | 45 | 45 | 46-190 | 1 1/4" | 330 |
| VRS M36 | 16,0 | 7,0 | 3,5 | 104 | 32 | 29 | 73 | 98 | 135 | 54 | 54 | - | 1 1/2" | 590 |
| VRS M42 | 24,0 | 9,0 | 4,6 | 121 | 37 | 33 | 84 | 111 | 158 | 63 | 63 | - | 1 3/4" | 925 |
| VRS M48 | 32,0 | 12,0 | 7,4 | 138 | 42 | 42 | 94 | 128 | 180 | 72 | 72 | - | 2" | 1400 |

Fabricado em material forjado de classe 1.6541, em aço-liga de alta resistência. 100% testado contra presença de trincas, conforme a norma EN 1677-1.



LBG

Olhal Aparafusável Giratório







- A mola mantém a alça na posição adequada, evitando batidas na carga. Assim, reduzem-se os ruídos e se preserva a pintura.
- O design construtivo do LBG mantém a alça atrás do parafuso.
 Esta característica torna o olhal mais robusto e seguro, pois a alça é soldada.
- Fabricado em material forjado de classe 1.6523 em aço-liga de alta resistência. 100% testado contra presença de trincas, conforme a norma EN 1677-1.
- O parafuso classe de resistência 10.9 e dimensões de acordo com a norma DIN 931.

Características





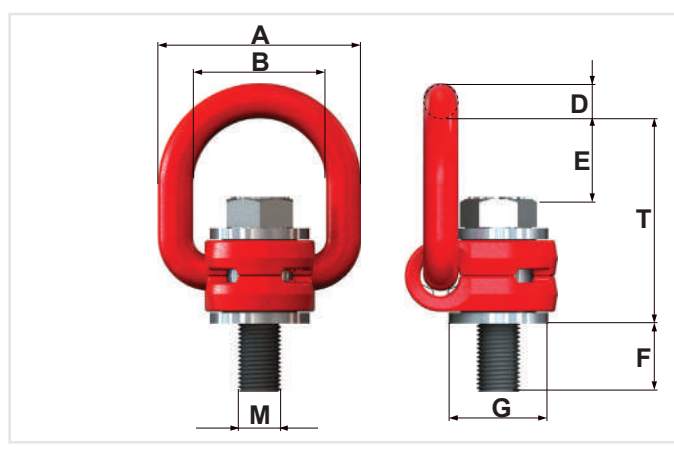
Gravação em alto relevo da carga de trabalho válida para a pior condição de içamento

Mola mantém alça na vertical



| Descrição | Carga de | Peso | | | | Dimensô | es (mm) | | | | Rosca | Torque |
|-----------|-----------|----------|-----|-----|----|---------|---------|----|--------|----|--------|--------|
| do Item | Trab. (t) | (kg/pc.) | Т | Α | В | D | Е | F | Fvario | G | UNC | (Nm) |
| LBG M08 | 0,25 | 0,4 | 73 | 62 | 36 | 13 | 31 | 12 | - | 32 | 5/16" | 30 |
| LBG M10 | 0,6 | 0,5 | 73 | 62 | 36 | 13 | 29 | 16 | 16-96 | 32 | 3/8" | 60 |
| LBG M12 | 1,0 | 0,55 | 73 | 62 | 36 | 13 | 28 | 21 | 21-16 | 32 | 1/2" | 100 |
| LBG M16 | 1,5 | 1,18 | 91 | 92 | 60 | 16 | 38 | 24 | 24-147 | 45 | 5/8" | 150 |
| LBG M20 | 2,5 | 1,27 | 91 | 92 | 60 | 16 | 35 | 30 | 30-185 | 45 | 3/4" | 250 |
| LBG M24 | 3,5 | 1,38 | 91 | 92 | 60 | 16 | 33 | 38 | 38-220 | 45 | 1" | 400 |
| LBG M30 | 5,0 | 3,33 | 131 | 110 | 65 | 22 | 51 | 48 | 48-278 | 60 | 1 1/4" | 500 |
| LBG M36* | 5,0 | 3,4 | 131 | 110 | 65 | 23 | 46 | 52 | 48-278 | 59 | _ | 800 |

^{*}Parafuso Móvel

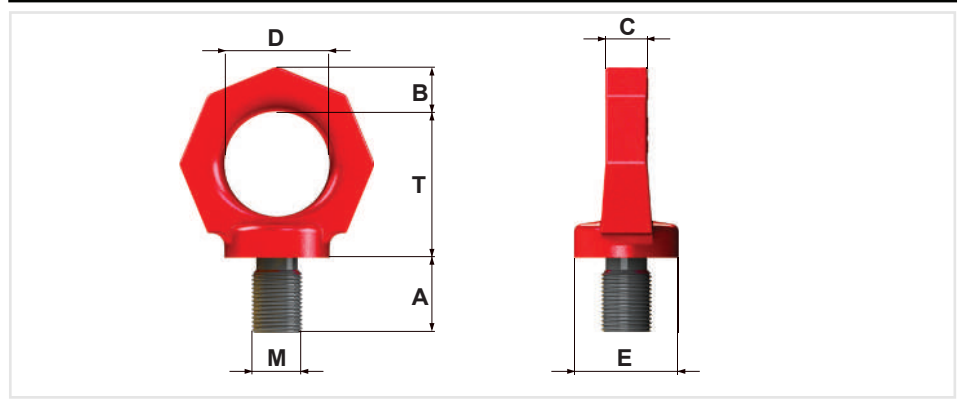




RS

Olhal Aparafusável Fixo

| Descrição | Carga de Trab | . (t) | Dim | nensões | (mm) | | | Rosca | Peso |
|-----------|---------------|-------|-----|---------|------|----|----|--------|----------|
| | Ğ | Т | В | С | D | Е | Α | UNC | (kg/pc.) |
| RS M6 | 0,4 | 34 | 11 | 10 | 25 | 25 | 12 | 1/4" | 0,1 |
| RS M8 | 0,8 | 34 | 11 | 10 | 25 | 25 | 12 | 5/16" | 0,1 |
| RS M10 | 1,0 | 34 | 11 | 10 | 25 | 25 | 15 | 3/8" | 0,1 |
| RS M12 | 1,6 | 41 | 13 | 12 | 30 | 30 | 18 | 1/2" | 0,18 |
| RS M14 | 3,0 | 48 | 15 | 14 | 35 | 35 | 21 | - | 0,3 |
| RS M16 | 4,0 | 48 | 15 | 14 | 35 | 35 | 24 | 5/8" | 0,3 |
| RS M20 | 6,0 | 55 | 17 | 16 | 40 | 40 | 30 | 7/8" | 0,47 |
| RS M24 | 8,0 | 70 | 21 | 20 | 50 | 50 | 36 | 1" | 0,88 |
| RS M30 | 12,0 | 85 | 26 | 24 | 60 | 60 | 45 | 1.1/4" | 1,62 |

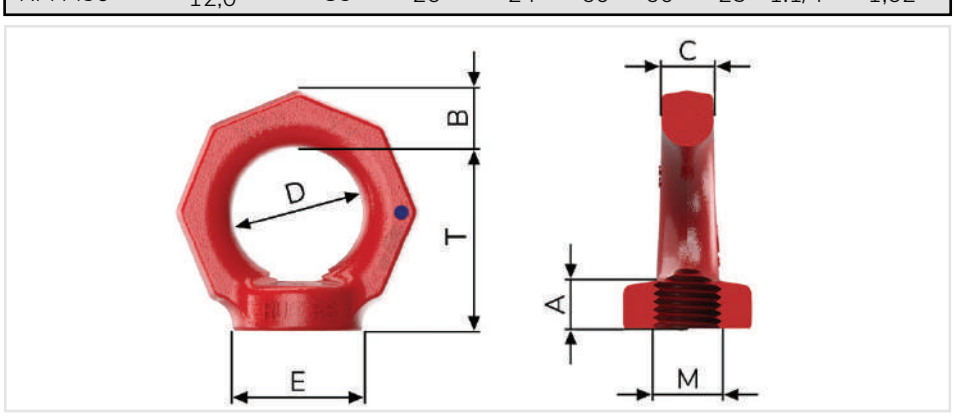


- Olhal Indicado para lingas de 1 ou 2 ramais, ângulo máximo de 45°;
- Carga de trabalho muito supeior ao DIN 580;
- Fabricado em material forjado de classe 1.6523 e aço-liga de alta resistência. 100% testado contra presença de trincas, conforme a norma EN 1677-1;
- Atenção: Para içamento lateral, recomendamos o uso de Olhais Giratórios.



RM Porca-olhal

| Descrição | Carga de Trab | o. (t) | Din | nensões | (mm) | | | Rosca | Peso |
|-----------|---------------|--------|-----|---------|------|----|----|--------|----------|
| | Ġ | T | В | С | D | Е | Α | UNC | (kg/pc.) |
| RM M6 | 0,4 | 34 | 11 | 10 | 25 | 25 | 11 | 1/4" | 0,1 |
| RM M8 | 0,8 | 34 | 11 | 10 | 25 | 25 | 11 | 5/16" | 0,1 |
| RM M10 | 1,0 | 34 | 11 | 10 | 25 | 25 | 11 | 3/8" | 0,1 |
| RM M12 | 1,6 | 41 | 13 | 12 | 30 | 30 | 12 | 1/2" | 0,18 |
| RM M14 | 3,0 | 48 | 15 | 14 | 35 | 35 | 13 | - | 0,3 |
| RM M16 | 4,0 | 48 | 15 | 14 | 35 | 35 | 13 | 5/8" | 0,3 |
| RM M20 | 6,0 | 55 | 17 | 16 | 40 | 40 | 16 | 7/8" | 0,47 |
| RM M24 | 8,0 | 70 | 21 | 20 | 50 | 50 | 20 | 1" | 0,88 |
| RM M30 | 12,0 | 85 | 26 | 24 | 60 | 60 | 25 | 1.1/4" | 1,62 |



- Carga de trabalho muito supeior ao DIN 580;
- Fabricado em material forjado de classe 1.6523 e aço-liga de alta resistência. 100% testado contra presença de trincas, conforme a norma EN 1677-1;
- Atenção: Para içamento lateral, recomendamos o uso de Olhais Giratórios.



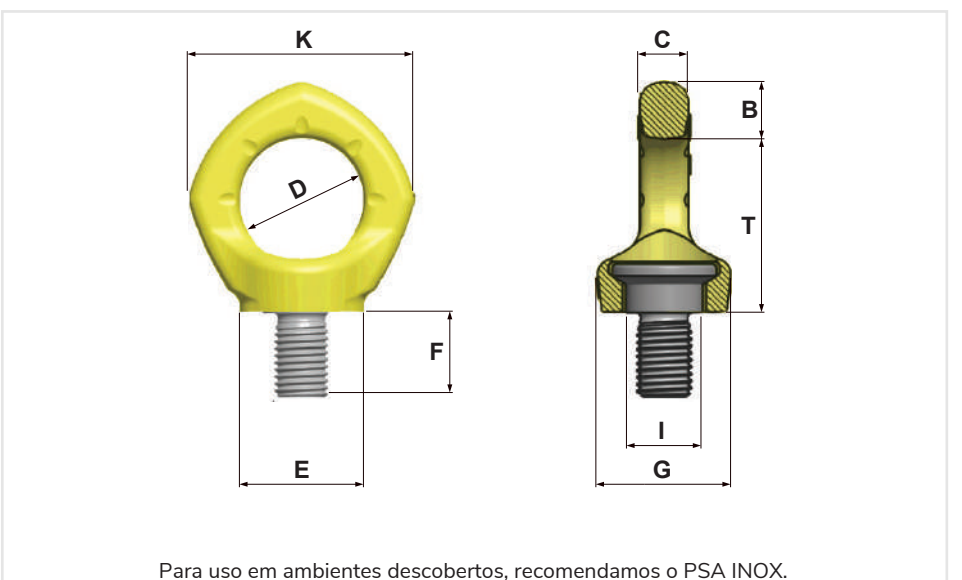
PAP // PSA

RUD[®]

Ponto de fixação para trab. em altura

| Descrição | Indicação | Peso | | | | Di | imer | ısõe | s (mm) | | | | Rosca |
|-----------|-----------|----------|----|----|----|----|------|------|----------|----|----|----|-------|
| | | (kg/pc.) | Т | В | С | D | Ε | F | F(vario) | Κ | G | I | UNC |
| PSA M12 | 1 pessoa | 0,20 | 42 | 13 | 10 | 30 | 30 | 18 | 150 | 56 | 34 | 18 | 1/2" |
| PAP M16 | 2 pessoas | 0,30 | 49 | 15 | 14 | 35 | 35 | 24 | 120 | 65 | 40 | 22 | 5/8" |
| PSA M20 | 2 pessoas | 0,56 | 57 | 18 | 17 | 40 | 42 | 30 | - | 75 | 54 | 28 | - |

*PAP M16 inox fabricado no Brasil



- De acordo com a norma EN 795.
- 100% testado contra a presença de trincas, de acordo com a norma EN 1677-1.
- Disponível com parafuso de maior comprimento (vario).
- A estrutura onde o olhal será fixado deve possuir a qualidade mínima de 1.0037 (ST37).
- Material aço inox duplex 1.4462.



ARR

Adaptador de rosca para olhais RUD

| Descrição | | D | imensõe | es (mm) | | | Peso |
|---------------|-----|-----|---------|---------|----|-----|----------|
| j | Α | В | С | D | Е | F | (kg/pc.) |
| ARR - M16xM8 | M16 | M8 | 8 | 24 | 30 | 35 | 0,08 |
| ARR - M20xM10 | M20 | M10 | 9 | 30 | 32 | 38 | 0,13 |
| ARR - M24xM12 | M24 | M12 | 9 | 36 | 36 | 42 | 0,19 |
| ARR - M30xM16 | M30 | M16 | 10 | 45 | 46 | 51 | 0,33 |
| ARR - M36xM20 | M36 | M20 | 12 | 54 | 55 | 65 | 0,61 |
| ARR - M42xM24 | M42 | M24 | 16 | 63 | 70 | 82 | 1,12 |
| ARR - M48xM24 | M48 | M24 | 16 | 72 | 70 | 82 | 1,4 |
| ARR - M56xM30 | M56 | M30 | 16 | 84 | 90 | 100 | 2,14 |
| ARR - M64xM36 | M64 | M36 | 16 | 96 | 95 | 110 | 2,85 |

- As limitações do parafuso olhal DIN 580 requerem substituição para olhais RUD.
- Muitas máquinas e peças possuem grandes furos para acoplamento dos DIN 580, pois estes possuem carga de trabalho inferior, por isso são muito maiores.
- A substituição do parafuso olhal para olhais de alta capacidade exige a utilização do adaptador ARR, que evita a compra de olhais superdimensionados apenas por causa dos grandes furos presentes nas máquinas e peças.



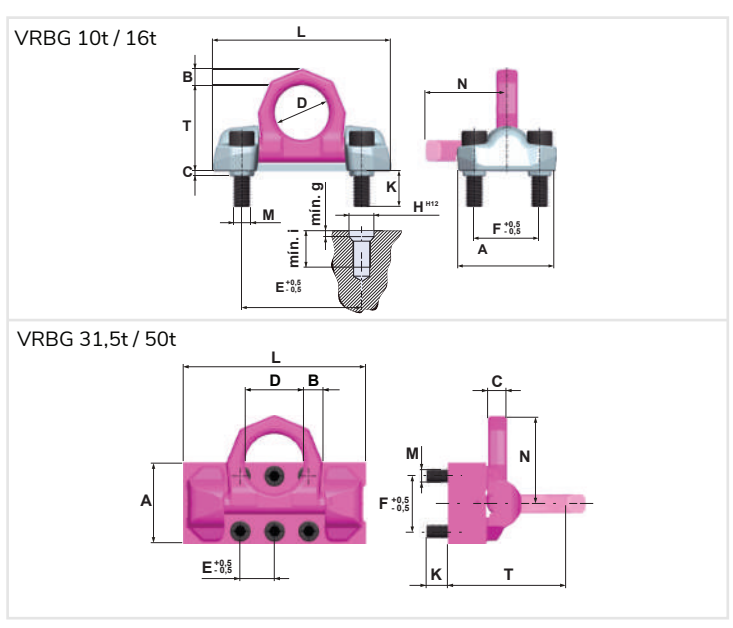


A carga de trabalho do adaptador deve ser correspondente à carga do olhal RUD.

VRBG

Olhal Aparafusável com alça ajustável

| Descrição | Carga de Trab. (t) | Peso | | | Dimensões (mm) | | | | | | | | | | | | Torque |
|-----------|--------------------|----------|-----|-----|----------------|----|-----|-----|-----|----|----|----|----|-----|-------|-----|--------|
| | G G | (kg/pc.) | Т | Α | В | С | D | Е | F | G | Н | I | K | L | М | Ν | (Nm) |
| VRBG 10 | 10 | 5,43 | 103 | 125 | 22 | 6 | 65 | 143 | 78 | 8 | 30 | 50 | 43 | 213 | 4xM20 | 100 | 300 |
| VRBG 16 | 16 | 11,3 | 131 | 170 | 30 | 8 | 90 | 198 | 104 | 10 | 46 | 70 | 63 | 270 | 4xM30 | 134 | 600 |
| VRBG 31,5 | 31,5 | 67,5 | 265 | 180 | 42 | 42 | 130 | 75 | 120 | - | - | - | 46 | 400 | 6xM30 | 195 | 900 |
| VRBG 50 | 50,0 | 198 | 430 | 270 | 70 | 55 | 230 | 100 | 200 | - | - | - | 58 | 650 | 8xM36 | 335 | 1000 |



- Suporte de fixação protege os parafusos contra cisalhamento e flexão, proporcionando segurança adicional.
- Parafusos originais RUD estão disponíveis como componentes de reposição.
- Distribuição de carga igual em todos os parafusos.
- Gravação em alto relevo da carga de trabalho.





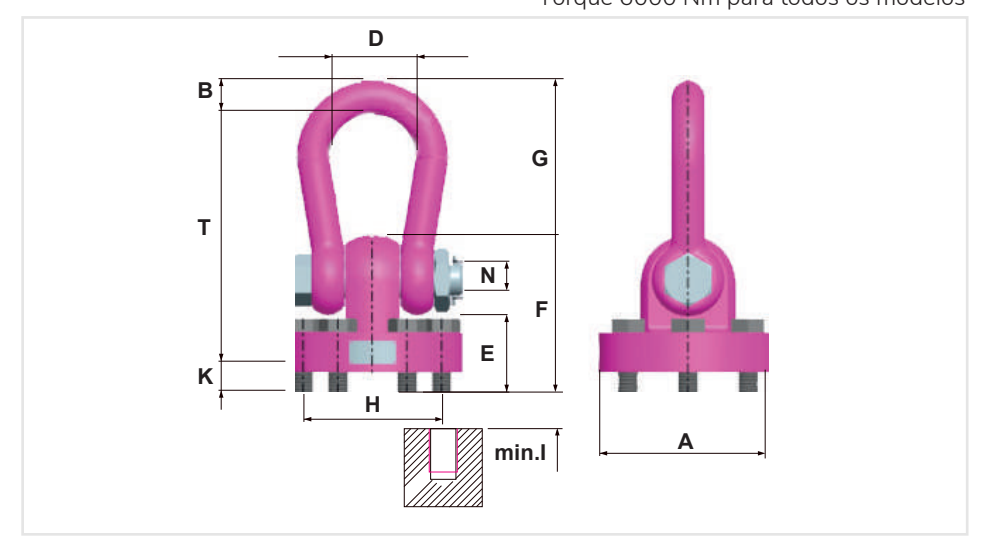
VRBG 31,5t / 50t

WBPG

Olhal de içamentode alta capacidade

| Descrição (| Descrição Carga de Trab. (t) | | | | | | Dimensões (mm) | | | | | | | | | | |
|----------------|------------------------------|------|-----|-----|-----|-----|----------------|-----|-----|----|----|-----|---------|--|--|--|--|
| | û G G | T | Α | В | D | Е | F | G | Н | I | K | Ν | (kg/pç) | | | | |
| WBPG 85t 6xM4 | 8 85 | 577 | 400 | 75 | 190 | 89 | 304 | 273 | 310 | 73 | 71 | 83 | 170 | | | | |
| WBPG 100t 6xM | 48 100 | 577 | 400 | 83 | 190 | 89 | 304 | 273 | 310 | 73 | 71 | 83 | 198 | | | | |
| WBPG 120t 6xM | 48 120 | 651 | 571 | 94 | 238 | 110 | 344 | 307 | 445 | 77 | 75 | 95 | 360 | | | | |
| WBPG 200t 10xl | M48 200 | 800 | 650 | 120 | 290 | 100 | 460 | 426 | 500 | 73 | 71 | 130 | 678 | | | | |
| WBPG 250t 12xl | M48 250 | 1110 | 730 | 130 | 305 | 138 | 496 | 424 | 580 | 74 | 72 | 140 | 992 | | | | |

Torque 6000 Nm para todos os modelos



- Rotação 360° e ajuste 180°.
- Design de alta resistência, até 250t de CMT.
- Alça desmontável.



Sujeito a alterações sem aviso prévio



INSTRUÇÕES GERAIS

- 1. Os olhais de içamento devem ser usados de acordo com as instruções do fabricante. A instalação deve ser realizada por profissional competente e capacitado.
- 2. Durante o uso dos olhais, deve-se realizar inspeções anuais, ou após a ocorrência de alguma situação que possa comprometer a carga de trabalho, atentando para pontos de corrosão, trincas na solda, desgaste, deformações, etc, principalmente nas áreas de desgaste. Também requerem atenção os parafusos, porcas e roscas. O desgaste da seção não deve ser superior a 10% do diâmetro da seção transversal.
- 3. Os pontos onde serão instalados os olhais deverão ser escolhidos de forma tal, que as forças sejam assimiladas pela peça içada, sem deformá-la.
- 4. O olhal deve ser posicionado de tal forma que a carga permaneça equilibrada, sem produzir outros esforços.
- a) Para içamento com 1 ramal, o olhal deve ser posicionado verticalmente no centro de gravidade da peça;
- b) Para içamento com 2 ramais, os olhais devem ser posicionados em ambos os lados e acima do centro de gravidade da peça;

c) Para içamento com 3 ou 4 ramais, os olhais devem ser posicionados simetricamente ao redor do centro de gravidade da peça e no mesmo

5. A carga máxima de trabalho para cada olhal deve ser calculada, baseando-se nas fórmulas físicas para cargas simétricas e assimétricas.

O número efetivo de ramais é determinado conforme a tabela ao lado:

| CMT= | G |
|------|---------------------|
| | $n \times cos\beta$ |

CMT = Carga Máxima de Trabalho G = Peso da carga (kg) n =Número de ramais efetivos

β=Ângulo de inclinação de 1 ramal individual

| | Simétrico | Assimétrico |
|-----------------------|-----------|-------------|
| Linga de 2 ramais | 2 | 1 |
| Linga de 3 - 4 ramais | 3 | 2 |

- 6. Mantenha os olhais RUD protegidos contra agentes agressivos, tais como: químicos, ácidos e seus vapores.
- 7. Se expostos a alta temperatura, os olhais sofrem redução da carga de trabalho, conforme abaixo:

Aparafusáveis -40°C à 100°C = menos 0% - 100°C à 200° = menos 10% 200° à 250°C = menos 20% - 250° à 350°C = menos 25% Temperaturas acima de 350°C não são permitidas

Soldáveis -20°C à 200°C = menos 0% - 200°C à 300°C = menos 10% 300°C à 400°C = menos 25% Temperaturas acima de 400°C não são permitidas

- 8. Assegure-se de que as gravações de carga de trabalho, número de série e marca do fabricante estejam visíveis.
- 9. Durante o manuseio das lingas e olhais, as situações de retorcimento, trancos e impactos devem ser evitadas, bem como cantos vivos e arestas.
- 10. Certifique-se que o tamanho da rosca, comprimento e qualidade sejam os apropriados para a carga a ser içada e ao tipo de manobra a ser realizada.
- 11. Os olhais RUD são projetados para suportar a resistência dinâmica máxima de 20.000 ciclos.

INSTRUÇÕES PARA OLHAIS APARAFUSÁVEIS

1. O passo da rosca deve ser feito de tal forma que as forças aplicadas sejam absorvidas naturalmente pelo material a ser içado, conforme tabela ao lado:

1 x M* para aço - 1,25 x M* para ferro fundido - 2 x M* para alumínio *(M = tamanho de rosca, ex.: M20)

- 2. Para evitar o afrouxamento involuntário, causado por impactos, vibrações ou tombamentos, recomenda-se o uso de sistemas de fixação, exemplo: trava-rosca. Respeitando sempre as especificações do fabricante.
- 3. Com alumínio, ferro fundido, entre outros metais não ferrosos, a rosca deve ser projetada de modo que a carga máxima de trabalho do olhal possa ser mantida.
- 4. A RUD não garante nenhum produto que seja utilizado sem os parafusos originais. A qualidade mínima do material em que os olhais devem ser aparafusados é St 37-2 (1.0037). 5. A utilização de parafusos especiais mais compridos no VWBG-V só é permitida se for homologada pelo fabricante.
- 6. Para aplicações permanentes, deve-se aplicar o torque de aperto indicado no manual de instruções.



OS MELHORES PONTOS DE IÇAMENTO





A MAIS COMPLETA LINHA DE OLHAIS SOLDÁVEIS

Carga máxima de trabalho em toneladas correspondente ao modo de içamento

| | | | | | WPP LINHA POWERPOINT Olhais Giratórios | | | | | 0 | | LBS Ajus | | I | | OII | | 3S ijusta | ável | | | Olh | al d | FI) e Alt dade | a | | | AE Oll Forj | hal | | |
|---|---------|------------------|------------------|------------|--|-----------|---------|---------|------------------|------------|------------|-------------|------------|-----------|-----------|---------|-------|--------------|-------|----------|----------|--------------|----------------|----------------------|---------------|-----------------|---------------|-------------------|-----------|--------------|--|
| | POIN | NG ITS | | 3.8 | | | | | | | | | | | | | | | | | | | P | | | | | | | 5 | THE STATE OF THE S |
| | | Número de pernas | Direção da carga | WPP 0,63 t | WPP 1,5 t | WPP 2,5 t | WPP 4 t | WPP 5 t | WPP 8 t | VLBS 1,5 t | VLBS 2,5 t | VLBS 4 t | VBLS 6,7 t | VLBS 10 t | VBLS 16 t | LBS 1 t | LBS3t | LBS5t | LBS8t | LBS 15 t | LBS 25 t | VRBS FIX 4 t | VRBS FIX 6,7 t | VRBS FIX 10 t | VRBS FIX 16 t | VRBS FIX 31,5 t | VRBS FIX 50 t | ABA 1,6 t | ABA 3,2 t | ABA 5 t | ABA 10 t |
| • | G | 1 | 0° | 0,6 | 1,5 | 2,5 | 4 | 6,7 | 10 | 1,5 | 2,5 | 4 | 6,7 | 10 | 16 | 1 | 3 | 5 | 8 | 15 | 25 | 4 | 6,7 | 10 | 16 | 31,5 | 50 | 4 | 9 | 12 | 20 |
| • | A G | 2 | 0° | 1,2 | 3 | 5 | 8 | 13,4 | 20 | 3 | 5 | 8 | 13,4 | 20 | 32 | 2 | 6 | 10 | 16 | 30 | 50 | 8 | 13,4 | 20 | 32 | 63 | 100 | 8 | 18 | 24 | 40 |
| | G D | 1 | 90° | 0,6 | 1,5 | 2,5 | 4 | 5 | 8 | 1,5 | 2,5 | 4 | 5 | 10 | 16 | 1 | 3 | 5 | 8 | 15 | 25 | 4 | 6,7 | 10 | 16 | 31,5 | 50 | 1,6 | 3,2 | 5 | 10 |
| | β G | 2 | 90° | 1,2 | 3 | 5 | 8 | 10 | 16 | 3 | 5 | 8 | 10 | 20 | 32 | 2 | 6 | 10 | 16 | 30 | 50 | 8 | 13,4 | 20 | 32 | 63 | 100 | 3,2 | 6,4 | 10 | 20 |
| | | 2 | 0- 45° | 0,8 | 2,1 | 3,5 | 5,6 | 7,1 | 11,2 | 2,1 | 3,5 | 5,6 | 7,1 | 14 | 22,4 | 1,4 | 4,2 | 7 | 11,2 | 21 | 35 | 5,6 | 9,38 | 14 | 22,4 | 45 | 70 | 5,6 | 12,6 | 16,8 | 28 |
| 9 | G | 2 | 45- 60° | 0,6 | 1,5 | 2,5 | 4 | 5 | 8 | 1,5 | 2,5 | 4 | 5 | 10 | 16 | 1 | 3 | 5 | 8 | 15 | 25 | 4 | 6,7 | 10 | 16 | 31,6 | 50 | 4 | 9 | 12 | 20 |
| | G | 2 | Assimétrico | 0,6 | 1,5 | 2,5 | 4 | 5 | 8 | 1,5 | 2,5 | 4 | 5 | 10 | 16 | 1 | 3 | 7 | 8 | 15 | 25 | 4 | 6,7 | 10 | 16 | 31,5 | 50 | 4 | 9 | 12 | 20 |
| | | 3/4 | 0- 45° | 1,3 | 3,2 | 5,3 | 8,4 | 10,5 | 16,8 | 3,2 | 5,3 | 8,4 | 10,5 | 21 | 33,6 | 2,1 | 6,3 | 5 | 16,8 | 31,5 | 53 | 8,4 | 14,1 | 21 | 33,6 | 67 | 105 | 3,4 | 6,8 | 10,6 | 21,2 |
| | G | 3/4 | 45- 60° | 0,9 | 2,2 | 3,8 | 6 | 7,5 | 12 | 2,2 | 3,8 | 6 | 7,5 | 15 | 24 | 1,5 | 4,5 | 5 | 12 | 22,5 | 37 | 6 | 10,1 | 15 | 24 | 47,5 | 75 | 2,4 | 4,8 | 7,5 | 15 |
| | S G | 3/4 | Assimétrico | 0,6 | 1,5 | 2,5 | 4 | 5 | 8 | 1,5 | 2,5 | 4 | 5 | 10 | 16 | 1 | 3 | 10,5 | 6 | 15 | 25 | 4 | 6,7 | 10 | 16 | 31,5 | 50 | 1,6 | 3,2 | 5 | 10 |
| 5 | Solda 🗲 | | | a 4⊾ | a 5 L | + | + | + | HY3 + a10L | + | + | + | + | + | + | + | + | + | + | + | + | HY 3 | HY 5 | HY 6 | HY 9 | HY 12 | HY 19 | a 4L | a 6L | a 7 L | a8L |

Nós temos a ferramenta certa para você!

O serviço perfeito para o departamento de Projetos/Engenharia. Disponibilizamos os **arquivos 2D e 3D** de nossos olhais para seu projeto!

Faça o download em nosso website www.rud.com.br

Caso necessite de mais informações, entre em contato conosco +55 (11) 4723-4944 ou pelo site www.rud.com.br

Melhor condição de içamento

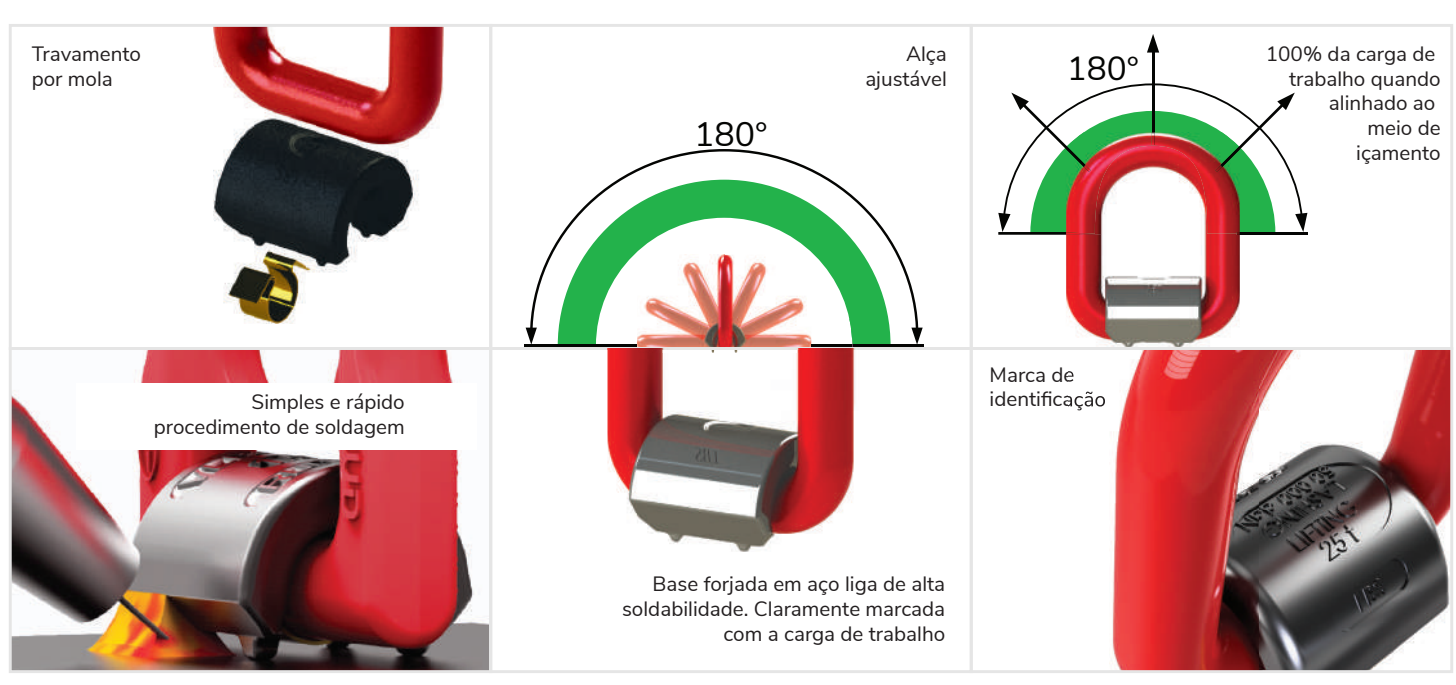
LBS

Olhal Soldável Ajustável com Alça Articulável

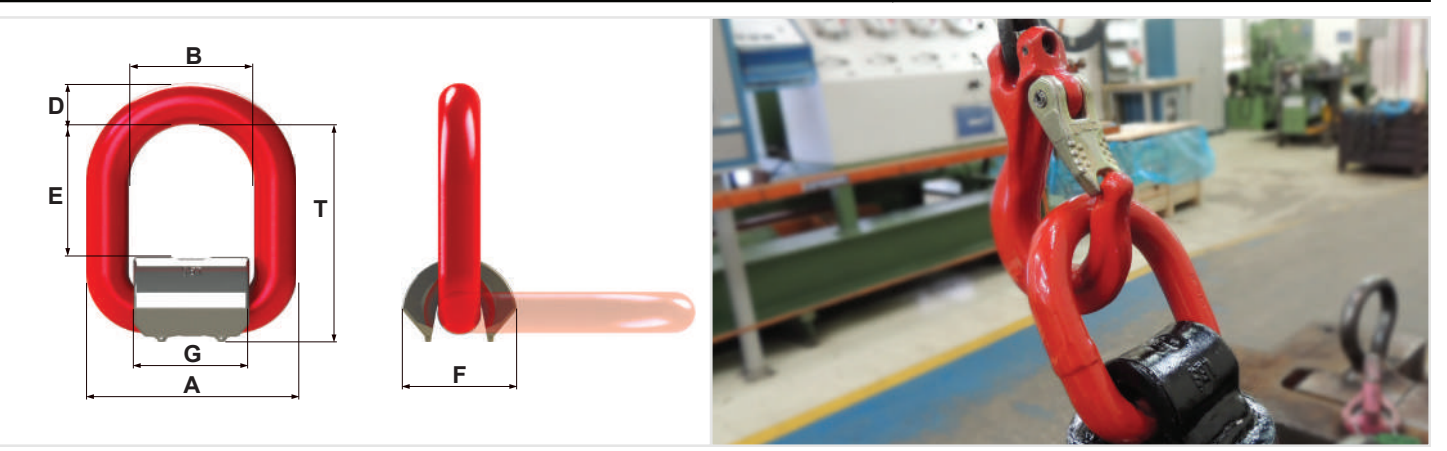




- Travamento por mola.
- Alça ajustável até 180°.
- Base forjada em aço de liga de alta soldabilidade. Claramente marcada com a carga de trabalho.
- Marca de identificação.



| Descrição | Carga de | | | Dir | mensões (m | m) | | | | Peso |
|-----------|-----------|-----|-----|-----|------------|--------|-----|-----|---------|----------|
| 2 000şu.0 | Trab. (t) | T | Α | В | D D | , E | F | G | Solda | (kg/pc.) |
| LBS 1t | 1 | 62 | 62 | 36 | 13 | 37 | 33 | 33 | HV 5+3 | 0,3 |
| LBS 3t | 3 | 78 | 82 | 50 | 16 | 47 | 41 | 46 | HV 8+3 | 0,6 |
| LBS 5t | 5 | 112 | 109 | 65 | 22 | 68 | 63 | 60 | HV 12+4 | 1,6 |
| LBS 8t | 8 | 115 | 116 | 65 | 25 | 61 | 75 | 60 | HV 16+4 | 2,5 |
| LBS 15t | 15 | 167 | 175 | 102 | 37 | 99 | 96 | 90 | HV 25+6 | 6,5 |
| LBS 25t | 25 | 228 | 209 | 126 | 41 | 150 | 105 | 107 | HV 25+6 | 10,1 |



VLBS









- Travamento por mola.
- Alça ajustável até 180°.
- Base forjada em aço de liga de alta soldabilidade. Claramente marcada com a carga de trabalho.
- Marca de identificação.





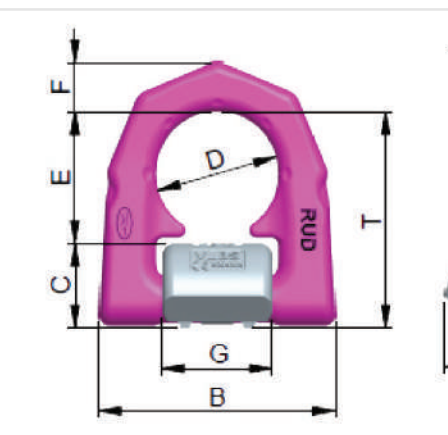








| Descrição | Carga de | | | | Di | mensões (| mm) | | | | | Peso |
|-----------|-----------|-----|----|-----|----|-----------|-----|------|----|------|---------|----------|
| | Trab. (t) | Т | Α | В | С | D | Е | F | G | Н | Solda | (kg/pc.) |
| VLBS 1,5 | 1,5 | 65 | 33 | 66 | 25 | 38 | 40 | 14 | 33 | 14 | HV 5+3 | 0,35 |
| VLBS 2,5 | 2,5 | 75 | 38 | 77 | 28 | 45 | 47 | 16 | 40 | 16 | HV 7+3 | 0,5 |
| VLBS 4,0 | 4,0 | 83 | 42 | 87 | 31 | 51 | 52 | 18 | 46 | 16 | HV 8+3 | 0,8 |
| VLBS 6,7 | 6,7 | 117 | 61 | 115 | 44 | 67 | 73 | 24 | 60 | 22,5 | HV 12+4 | 1,9 |
| VLBS 10,0 | 10,0 | 126 | 75 | 129 | 55 | 67 | 71 | 26,5 | 60 | 26,5 | HV 16+4 | 2,9 |
| VLBS 16,0 | 16,0 | 176 | 95 | 192 | 70 | 100 | 106 | 40 | 90 | 26 | HV 25+6 | 6,8 |







WPP-S //-B//-VIP



Powerpoint Conexão Gancho // Conexão Elo // Conexão Corrente









Características

- Fabricado com aço-liga especial NiCrMo temperado e revenido.
- Não adequado para girar continuamente sob carga máxima.
- WPP-S: A forma do gancho previne contra práticas inadequadas de utilização e resiste aos esforços de dobra.
- Trava de segurança forjada, aumentando a resistência contra esforços laterais.

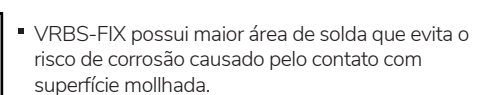
| Descrição | Carga de Trab. (t) | Peso (kg/pc.) | Т | D A | imensĉ B | ies (m C | ım) D | G | Cordão de Solda | A |
|-------------|--------------------|------------------|-----|--------|-------------|-------------|----------|-----|---------------------|-------------|
| WDD C | Ġ G Ś | | | | | | | G | Solda | |
| | nexão com ganc | no VIP V | | | xao ui | | sai) | | | В В |
| WPP-S 0,63 | t 0,63 | 0,4 | 115 | 13 | 75 | 18 | 40 | 40 | a 4 📐 | т 🥍 |
| WPP-S 1,5 t | 1,5 | 1,0 | 147 | 20 | 97 | 25 | 46 | 50 | a 5 📐 | • |
| WPP-S 2,5 t | 2,5 | 1,5 | 187 | 28 | 126 | 30 | 61 | 61 | HY 3 + a 5 △ | |
| WPP-S 4,0 t | 4,0 | 3,3 | 227 | 36 | 150 | 35 | 78 | 77 | HY 3 + a 6 △ | DD 6 |
| WPP-S 5 t | 5 (6,7) | 7,1 | 267 | 37 | 174 | 40 | 95 | 93 | HY 3 + a 8 △ | PP-S |
| WPP-S8t | 8 (10) | 8,2 | 310 | 49 | 208 | 48 | 100 | 102 | HY 3 +a 10 △ | C A |
| WPP-B – co | nexão com elo V | ΊΡ | | | | | | | | |
| WPP-B 0,63 | t 0,63 | 0,35 | 105 | 9 | 65 | 35 | 40 | 40 | a 4 ⊾ | В |
| WPP-B 1,5 t | 1,5 | 0,6 | 115 | 11 | 65 | 35 | 46 | 50 | a 5 📐 | T |
| WPP-B 2,5 t | 2,5 | 1,0 | 135 | 13 | 74 | 40 | 61 | 61 | HY 3 + a 5 △ | |
| WPP-B 4,0 t | 4,0 | 2,3 | 172 | 16 | 95 | 45 | 78 | 77 | HY 3 + a 6៤ | |
| WPP-B5t | 5 (6,7) | 4,7 | 223 | 19 | 130 | 60 | 95 | 93 | HY 3 + a 8៤ | PP-B |
| WPP-B8t | 8 (10) | 5,3 | 242 | 24 | 140 | 65 | 100 | 102 | HY 3 +a 10 △ | |
| WPP-VIP – | conexão com co | rente | | | | | | | | O Y |
| WPP-VIP 0,6 | 3 t 0,63 | 0,23 | - | 4 | - | - | 40 | 40 | a 4 ⊾ | (a) ¥ A |
| WPP-VIP 1,5 | t 1,5 | 0,45 | - | 6 | - | - | 46 | 50 | a 5 ⊾ | |
| WPP-VIP 2,5 | it 2,5 | 0,85 | - | 8 | - | - | 61 | 61 | HY 3 + a 5 ⊾ | G |
| WPP-VIP 4,0 | t 4,0 | 2,1 | - | 10 | - | - | 78 | 77 | HY 3 + a 6 ⊾ | |
| WPP-VIP 5 t | 5 (6,7) | 3,4 | - | 13 | - | - | 95 | 93 | HY 3 + a 8 ⊾ | D |
| WPP-VIP 8 t | 8 (10) | 4,5 | - | 16 | - | - | 100 | 102 | HY 3 +a 10 △ | PP-VIP |

() = Maior CMT devido à carga axial

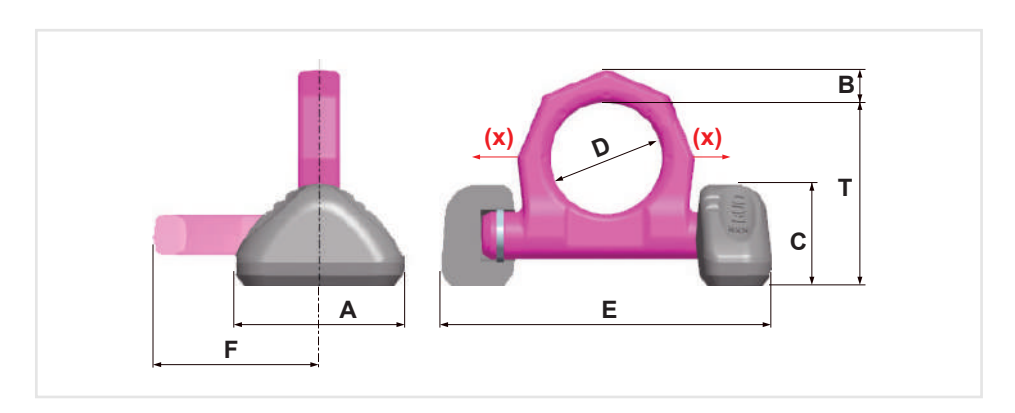
VRBS FIX

Olhal Soldável

| Descrição | Carga de | | | Din | nensõe | s (mm) | | | Peso (kg) |
|----------------|-----------|-----|-----|-----|--------|--------|-----|-----|-----------|
| | trab. (t) | T | Α | В | С | D | Е | F | aprox. |
| VRBS FIX 4t | 4 | 74 | 60 | 14 | 39 | 48 | 132 | 69 | 0,94 |
| VRBS FIX 6,7t | 6,7 | 97 | 88 | 20 | 50 | 60 | 167 | 91 | 2,2 |
| VRBS FIX 10t | 10 | 108 | 100 | 22 | 60 | 65 | 191 | 100 | 3,7 |
| VRBS FIX 16t | 16 | 140 | 130 | 30 | 72 | 90 | 267 | 134 | 8,2 |
| VRBS FIX 31,5t | 31,5 | 202 | 160 | 42 | 99 | 130 | 366 | 195 | 18,36 |
| VRBS 50t | 50 | 330 | 246 | 70 | 148 | 230 | 596 | 335 | 64,86 |
| VRBS 100t | 100 | 390 | 320 | 97 | 195 | 250 | 763 | 392 | 148,2 |



- A mola de aperto está protegida, por estar alocada dentro da base de solda. A mola cria uma fixação radial dos blocos soldáveis. Nenhuma peça fica solta;
- A mola mantém a alça na posição adequada, evitando ruídos e preservando a pintura;
- VRBS_FIX pode ser fornecido com um disco mancal axial se for permanentemente utilizado na direção de 90° em relação ao nível da alça (x).





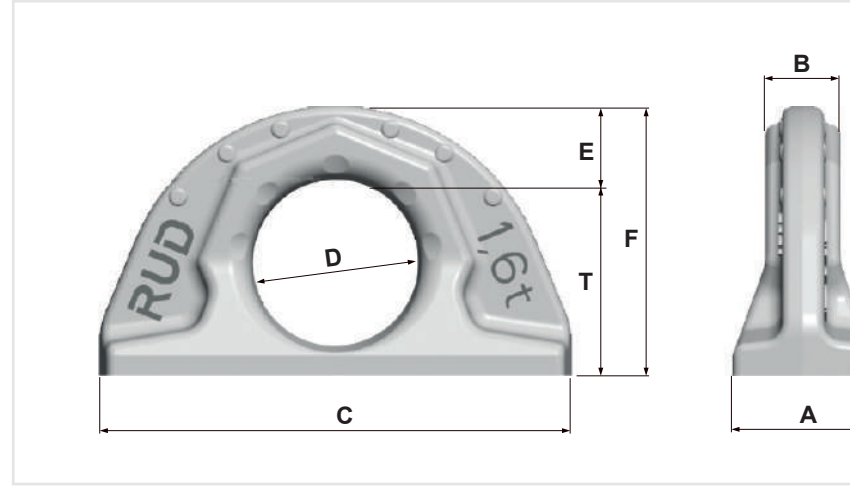




W-ABA Olhal Soldável

| Descrição | Carga de | Dimensões (mm) | | | | Peso | | | |
|-----------|-----------|----------------|----|----|-----|------|----|-----|----------|
| | Trab. (t) | Т | Α | В | С | D | Ε | F | (kg/pc.) |
| ABA 1,6t | 1,6 | 41,5 | 30 | 16 | 100 | 35 | 16 | 57 | 0,44 |
| ABA 3,2t | 3,2 | 59 | 41 | 23 | 137 | 50 | 21 | 80 | 1,1 |
| ABA 5t | 5 | 71,5 | 51 | 27 | 172 | 60 | 28 | 99 | 2,3 |
| ABA 10t | 10 | 95 | 70 | 38 | 228 | 80 | 35 | 130 | 5,3 |

- Olhal forjado.
- Suporta carga em qualquer direção.
- Superfície fosfatizada.
- Design compacto e leve.
- Marcas patenteadas de desgaste internas e
- Se for utilizado para amarração, a carga de trabalho é duplicada.
- Temperado e revenido. Maior resistência ao
- 100% testado contra presença de trincas de acordo com a norma europeia EN 1677.







INSTRUÇÕES GERAIS

- 1. Os olhais de içamento devem ser usados de acordo com as instruções do fabricante. A instalação deve ser realizada por profissional competente e capacitado.
- 2. Durante o uso dos olhais, deve-se realizar inspeções anuais, ou após a ocorrência de alguma situação que possa comprometer a carga de trabalho, atentando para pontos de corrosão, trincas na solda, desgaste, deformações, etc, principalmente nas áreas de desgaste. Também requerem atenção os parafusos, porcas e roscas. O desgaste da seção não deve ser superior a 10% do diâmetro da seção transversal.
- 3. Os pontos onde serão instalados os olhais deverão ser escolhidos de forma tal, que as forças sejam assimiladas pela peça içada, sem deformá-la.
- 4. O olhal deve ser posicionado de tal forma que a carga permaneça equilibrada, sem produzir outros esforços.
- a) Para içamento com 1 ramal, o olhal deve ser posicionado verticalmente no centro de gravidade da peça;
- b) Para içamento com 2 ramais, os olhais devem ser posicionados em ambos os lados e acima do centro de gravidade da peça;

c) Para içamento com 3 ou 4 ramais, os olhais devem ser posicionados simetricamente ao redor do centro de gravidade da peça e no mesmo plano.

5. A carga máxima de trabalho para cada olhal deve ser calculada, baseando-se nas fórmulas físicas para cargas simétricas e assimétricas.

O número efetivo de ramais é determinado conforme a tabela ao lado:

| CMT= | G |
|-------|---------------------|
| CIVIT | $n \times cos\beta$ |

CMT = Carga Máxima de Trabalho G = Peso da carga (kg) n =Número de ramais efetivos

β=Ângulo de inclinação de 1 ramal individual

| | Simétrico | Assimétrico |
|-----------------------|-----------|-------------|
| Linga de 2 ramais | 2 | 1 |
| Linga de 3 - 4 ramais | 3 | 2 |

- 6. Mantenha os olhais RUD protegidos contra agentes agressivos, tais como: químicos, ácidos e seus vapores.
- 7. Se expostos a alta temperatura, os olhais sofrem redução da carga de trabalho, conforme abaixo:

Aparafusáveis
-40°C à 100°C = menos 0% - 100°C à 200° = menos 10%
200° à 250°C = menos 20% - 250° à 350°C = menos 25%
Temperaturas acima de 350°C não são permitidas

Soldáveis
-20°C à 200°C = menos 0% - 200°C à 300°C = menos 10%
300°C à 400°C = menos 25%
Temperaturas acima de 400°C não são permitidas

- 8. Assegure-se de que as gravações de carga de trabalho, número de série e marca do fabricante estejam visíveis.
- 9. Durante o manuseio das lingas e olhais, as situações de retorcimento, trancos e impactos devem ser evitadas, bem como cantos vivos e arestas.
- 10. Certifique-se que o tamanho da rosca, comprimento e qualidade sejam os apropriados para a carga a ser içada e ao tipo de manobra a ser realizada.
- 11. Os olhais RUD são projetados para suportar a resistência dinâmica máxima de 20.000 ciclos.

INSTRUÇÕES PARA SOLDAGEM DOS OLHAIS

- 1. A solda deve ser executada por soldador qualificado.
- 2. O local onde o olhal será soldado deve resistir à carga aplicada.
- 3. Iniciar a solda pela parte central da base forjada.
- 4. A alça dos olhais não pode receber solda, pois é temperada e revenida.
- 5. O processo de solda não deve ser interrompido por um tempo que possibilite a redução da temperatura do bloco de solda.
 6. Veja a especificação de solda de cada modelo na tabela dimensional (pág. 22).
- 7. Os pontos distanciadores das bases forjadas oferecem o espaço correto para uma solda ideal.
- 8. Os olhais podem passar por alívio de tensões a uma temperatura ≤ 600°C (sem carga aplicada), este procedimento não diminui a resistência mecânica.
- 9. Para a soldagem deve-se elaborar uma EPS por profisisonal habilitado.

Procedimento de Solda + Materiais de Adição

| | Aço baixo carbono Aço baixa liga |
|--------------------|-------------------------------------|
| MIG/MAG | AWS: A 5.18 |
| GMAW | ER 70 S-6 |
| Eletrodo Revestido | AWS: A 5.5 |
| SMAW | E 8018-G - E 7018 |
| TIG | AWS: A 5.18 |
| GTAW | ER 70 S-6 |



LÍDER MUNDIAL EM TECNOLOGIA DE CORRENTES



RUD Correntes Industriais LTDA Rua Andreas Florian Rieger, 381 Mogi das Cruzes/SP - CEP: 08745-260 Tel.: +55 11 4723-4944

www.rud.com.br



